

Verdeling van een convex gebied in vierhoekige elementen t.b.v. 2D-meshgenerator

Citation for published version (APA):

Wismans, J. S. H. M. (1974). *Verdeling van een convex gebied in vierhoekige elementen t.b.v. 2D-meshgenerator*. (DCT rapporten; Vol. 1974.004). Technische Hogeschool Eindhoven.

Document status and date:

Gepubliceerd: 01/01/1974

Document Version:

Uitgevers PDF, ook bekend als Version of Record

Please check the document version of this publication:

- A submitted manuscript is the version of the article upon submission and before peer-review. There can be important differences between the submitted version and the official published version of record. People interested in the research are advised to contact the author for the final version of the publication, or visit the DOI to the publisher's website.
- The final author version and the galley proof are versions of the publication after peer review.
- The final published version features the final layout of the paper including the volume, issue and page numbers.

[Link to publication](#)

General rights

Copyright and moral rights for the publications made accessible in the public portal are retained by the authors and/or other copyright owners and it is a condition of accessing publications that users recognise and abide by the legal requirements associated with these rights.

- Users may download and print one copy of any publication from the public portal for the purpose of private study or research.
- You may not further distribute the material or use it for any profit-making activity or commercial gain
- You may freely distribute the URL identifying the publication in the public portal.

If the publication is distributed under the terms of Article 25fa of the Dutch Copyright Act, indicated by the "Taverne" license above, please follow below link for the End User Agreement:

www.tue.nl/taverne

Take down policy

If you believe that this document breaches copyright please contact us at:

openaccess@tue.nl

providing details and we will investigate your claim.

Verdeling van een convex gebied
in vierhoekige elementen t.b.v.
2D-meshgenerator

WE-74-4

jac wismans

Inhoudsopgave

	<i>pagina</i>
Voorwoord	0
Inleiding	1
Procedure Divconvexvierhoek	3
Procedure Div A	18
Procedure Div B	21
Procedure Div C	23
Procedure Div D	29
Procedure Div F	31
Procedure Aenumct	36
Procedure Divline A	38
Procedure Hkcos	45
Procedure Contreline	46
Procedure Makeline A	48
Procedure Bpg	51
Procedure Make driehoek	56
Enkele voorbeelden van door de procedure gemaakte elementverdelingen	57

Programma's voor het maken van procedure's

Voorwoord.

Dit rapport geeft een beschrijving v.d. procedure disconvexvierhoek. Het is in eerste instantie als discussie-stuk bedoeld voor de werkgroep I/O van Progel die zich bezig houdt met de ontwikkeling v.e. 2D-Meshgenerator. Bij de samenstelling v.h. programma is nog nauwelijks rekening gehouden met zaken als : efficiënt gebruik van geheugenruimte, effectief aanroepen van getallen e.d. : zaken die de rekentijd nog aanmerkelijk zullen kunnen bekorten.

Het doel was in eerste instantie een programma te krijgen dat werkte. In een later stadium kan m.b.v. dit rapport een meer efficiënt programma worden opgezet.

Jac Wismans

feb. 1974

1 Inleiding

1.1 Een belangrijk blok bij de 2D-meshgenerator is het genereren van een elementverdeling in een gebied waarvan de knooppunten op de rand gegeven zijn. Vaak zal zo'n gebied een concave vorm hebben. Is dit het geval dan zal zo'n gebied eerst in een aantal convexe gebieden verdeeld moeten worden.

In dit rapport wordt een beschrijving gegeven v.d. procedure Dirconvex-vierhoek welke een convex gebied in vierhoekige elementen verdeeld.

Procedures die bij Dirconvexvierhoek gebruikt worden, zullen afzonderlijk besproken worden.

In het nog te verschijnen afstudeerverslag zullen literatuur, theoretische achtergronden e.d. aan de orde komen.

1.2 Doel van dit rapport is :

- a) De leden v.d. werkgroep, die zich bezig houdt met de ontwikkeling van de 2D-meshgenerator, een duidelijk beeld te geven v.d. opzet van dit programma.
- b) De plaatsen in het programma aan te duiden waar op min of meer willekeurige gronden criteria zijn gekozen die een belangrijke invloed op de elementvorm kunnen hebben (b.v. toelaatbare hoeken).
- c) De plaatsen in het programma aan te geven, waar, door eenvoudige veranderingen in het programma aan te brengen, een vermindering v.d. benodigde rekentijd kan worden verkregen, vaak echter gepaard gaande met een slechtere elementvorm.
- d) Overzetten van dit programma in andere talen te vergemakkelijken.

1.3

De beschrijving v.d. verschillende procedures is meestal als volgt:

- a) een inleiding : Hierin wordt in het kort de functie v.d. procedure beschreven
- b) gebruiksaanwijzing : beschrijving van globale en formele parameters
- c) toelichting : beschrijving v.d. werking v.d. procedure.
- d) blokschema : bij een aantal procedures wordt de werking d.m.v. een blokschema verduidelijkt.
- e) discutabel : in deze paragraaf worden gehanteerde en eventueel te veranderen criteria besproken. Tevens zijn hierin soms suggesties opgenomen om een lagere reken tijd te verkrijgen.

1.4

Vanaf blz 57 worden voorbeelden gegeven v.d. met behulp v.d. procedure Div convex vierhoek gemaakte verdelingen.

Tevens zijn opgenomen een aantal voorbeelden van een uit de verdeling in vierhoeken gemaakte verdeling in driehoeken n.b.v.

procedure Makedriehoek. Beschrijving van deze procedure + commentaar is in dit rapport opgenomen.

1.5

Achter elke procedure is de programma tekst opgenomen in de taal Beathe.

Beathe is de implementatie van Algol 60 op de B 6700 v.d. Technische Hogeschool Eindhoven (Burroughs Extended Algol Technische Hogeschool Eindhoven)

Procedure Divconvexvierhoek1. Inleiding

De procedure Divconvexvierhoek verdeelt een convexgebied, waarvan de rand met knooppunten is gegeven in vierhoekige elementen.

2. Gebruiksaanwijzing

Divconvexvierhoek (co, ct, kct, af, hk, td, ae, ak).

2.1 Globale parameters.

procedure DIVA

procedure DIVB

procedure DIVC

procedure DIVD

procedure DIVF

procedure Renumct

procedure Divline A

real procedure Hkcos

boolean procedure Contreline

Deze procedures worden allen afzonderlijk in dit rapport besproken.

2.2 Formele parameters.

integer kct geeft het aantal knooppunten op de rand(contour) aan.

kct moet, omdat we vierhoekige elementen wensen, even zijn.

integer ae elementnummer van het eerstvolgende element dat gemaakt wordt.

integer ak knooppuntsnummer van het eerstvolgende knooppunt dat gemaakt wordt.

array co array met de grenzen [1:n, 1:2]. Bevat de coördinaten v.d. knooppunten op de contour en wordt gevuld met de coördinaten v.d. gemaakte knooppunten.

n is een ruime schatting van het totaal aantal te verwachten knooppunten.

Divonvex vierhoek 2

v.b: $co[i,1]$ heeft of krijgt de waarde v.d x-coördinaat van het knooppunt met knooppuntsnummer: i
array met de grenzen $[0:kct+1]$

array ct

Dit array bevat de knooppuntsnummers v.d knooppunten op de contour. De contour wordt met de klok mee doorlopen.

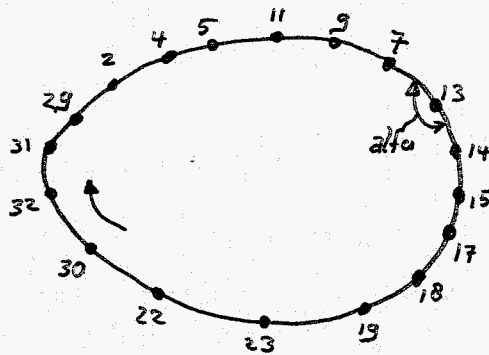


fig. 1

v.b: $kct = 18$ dan geldt:
 $ct[1]$ zou bv. 13 kunnen zijn.
 $ct[2] = 14$, $ct[3] = 15$ etc...
 $ct[0] = 7$, $ct[kct] = 7$,
 $ct[kct+1] = 13$.

array af

array met de grenzen $[0:kct+1]$.

Dit array bevat de afstanden tussen de opeenvolgende knooppunten v.d contour.

v.b. zie fig 1. Omdat $ct[1]$ is 13, is $af[1]$ de afstand tussen 13 en 14. $af[0]$ is de afstand tussen 7 en 13. etc...

array hk

array met de grenzen $[0:kct+1]$.

Dit array bevat de cosinus v.d binnenhoeken van de verschillende knooppunten op de contour

v.b zie fig 1. $hk[1] = \cosinus(\alpha)$ etc...

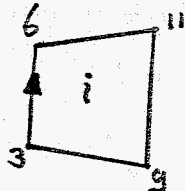
array td

array met de grenzen $[1:l, 1:4]$.

Dit array bevat na afloop v.d procedure de topologische beschrijving v.d elementen.

l is een ruime schatting van het aantal te verwachten elementen.

v.b:



elementnummer: i
 $td[i,1] = 3$ $td[i,3] = 11$
 $td[i,2] = 6$ $td[i,4] = 9$

3.1 Werking v.d. procedure

De getallen in de tekst verwijzen naar de nummers v.d. verschillende blokken in het blokschema (4.1)

Gegeven: Een convex gebied met een rand (verder contour genoemd), bestaande uit knooppunten, verbonden door rechte lijnen. Deze knooppunten worden knooppunten van de aan de contour grenzende elementen. Op de contour worden verder geen knooppunten gegenereerd. (zie fig 1)

We wensen in dit gebied een elementverdeling aan te brengen, bestaande uit vierhoekige elementen, zodanig dat het grofheidsverloop v.d. elementen zo gelijkmatig mogelijk is. Onder grofheid verstaan we in dit verhaal: $\frac{\text{elementribbe}}{\text{standaardlengte}}$. Uit de grootte v.d. elementribben op de contour wordt de grootte v.d. elementribben in het gebied bepaald (procedure Bps).

De rand wordt steeds met de klok mee doorlopen.

We gaan nu als volgt te werk:

We zoeken op de contour de meest "scherpe" binnenhoek, die echter niet groter dan een bepaalde waarde (b.v. 90°) mag zijn (2). Vinden we z'n hoek niet dan wordt het gebied in 2 stukken verdeeld (fig 2)

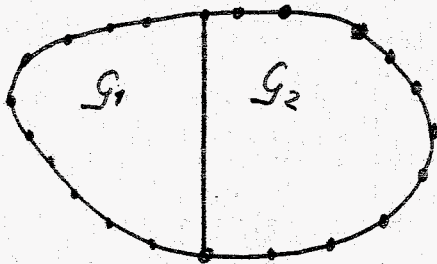


fig 2.

Op de lijn die het gebied verdeeld worden een aantal knooppunten gegenereerd, rekening houdende met de verdeling op de contour v/h. gebied.

We hebben nu 2 gebieden: G_1 en G_2 . Elk gebied wordt verder afzonderlijk behandeld.

In z'n subgebied zal een hoek die aan de criteria voldoet, waarschijnlijk wel gevonden worden, zoniet, dan zal verdere verdeling in subgebieden noodzakelijk zijn.

Uitgaande van deze scherpe hoek kappen we van het gebied een strook af zoals is aangegeven in fig 3.

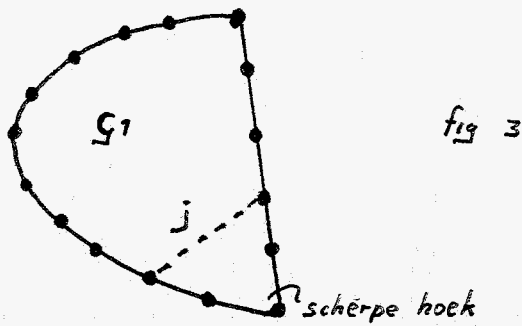


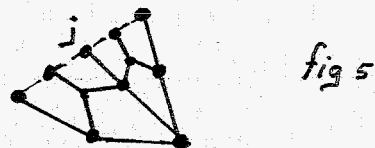
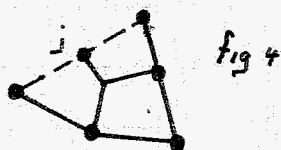
fig 3

Indien de hoeken die de lijn j met de contour maakt niet te scherp zijn (11), worden op de lijn klz punten gegenereerd (15). klz mag één of drie zijn. Indien er méér dan 3 knooppunten op de lijn gegenereerd worden, wordt lijn j niet geaccepteerd (18)

De afgekapte strook wordt als volgt in elementen verdeeld:

Indien $klz = \text{één}$ (19):

Indien $klz = \text{drie}$ (20):



Indien de strook niet acceptabel is omdat er teveel punten op de lijn j gegenereerd zijn of omdat de hoeken van lijn j met de contour te scherp zijn proberen we vanuit een andere scherpe hoek te beginnen of gaan we het gebied in verdere subgebieden onderverdelen. (12)

De volgende stap is: We trekken een lijn j zoals is aangegeven in fig 6:



fig 6

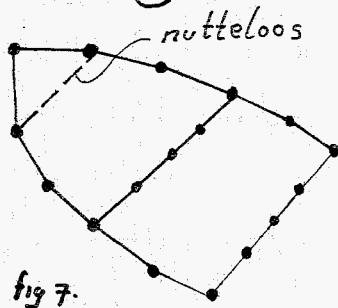
We controleren weer de hoeken die deze lijn met de contour maakt.

Indien deze hoeken acceptabel zijn (25) en bovendien α en β (24) niet te klein zijn, worden op de lijn klz punten gegenereerd (26).

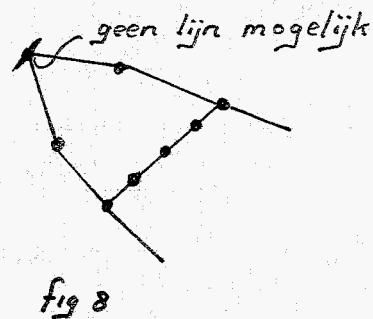
Wijkt het aantal punten op de lijn j meer dan 4 af van het aantal dat op de vorige lijn is gegenereerd dan is de lijn niet acceptabel (27). Wanneer nu de lijn wel acceptabel is gaan we ^{de} strook tussen de lijn j en de vorige lijn verdelen op de in 2.3.2 aangegeven wijze (28). Op deze manier hebben we dus een 2^e strook v/h gebied afgekapt. We kunnen nu deze stap een aantal malen herhalen.

Dit stroken afhakken kan op de volgende manieren tot een einde komen:

- zoals we reeds gezien hebben: als de lijn niet acceptabel is omdat de hoeken met de contour te scherp worden of omdat er te veel of te weinig knooppunten op de lijn gegenereerd zijn.
- Indien er te weinig knooppunten overblijven om een "zinnige" lijn te trekken (23):



of:



In geval (a) wordt hetgeen wat overblijft van het gebied beschouwd als een nieuw subgebied (29) en wordt het gehele verhaal, te beginnen bij het zoeken v.e. scherpe hoek herhaald.

In geval (b) wordt indien het overblijvend subgebied slechts 6 knooppunten bevat een verdeling toegepast afhankelijk v.d. vorm van dit gebiedje (DIVC). Indien er meer dan 6 knooppunten zijn doen we hetzelfde als in geval (a).

We herhalen dit hele proces totdat alle subgebieden verdeeld zijn.

De knooppuntsnummering is op deze manier natuurlijk vrij willekeurig tot stand gekomen, evenals de positionering v.e. aantal knooppunten.

Repositionering en hernummering zal dan ook nog zeker noodzakelijk zijn.

De belangrijkste fase bij het aanbrengen van de elementverdeling is het verdelen van een lijn in een aantal stukken.

De plaatsing van de knooppunten op een lijn zal namelijk voor het grootste gedeelte bepalen hoe het grafheidsverloop van de elementen zal worden. Bij de bepaling van de plaats v.d. knooppunten zal steeds gekeken worden naar de contour van het oorspronkelijk gebied G , dus niet naar de contour van de eventueel ontstane subgebiedjes. We bereiken hiermee dat de elementverdeling plaatselijk niet kan ontgarden in te grote of te kleine elementen.

3.2. Een strook in elementen verdelen. (28)

De toelichting zal geschieden aan de hand v.e. voorbeeld.

Zie eventueel ook Blokschema 4.2.

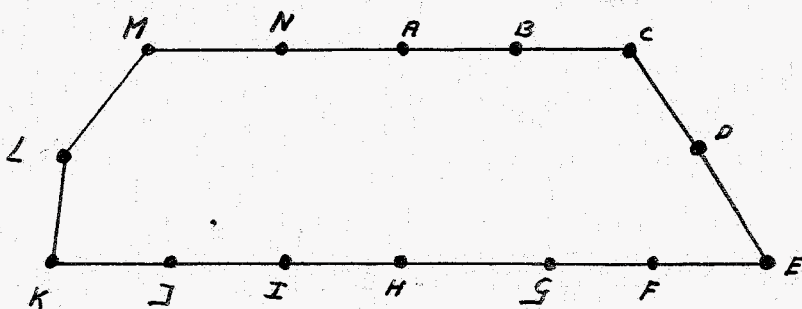
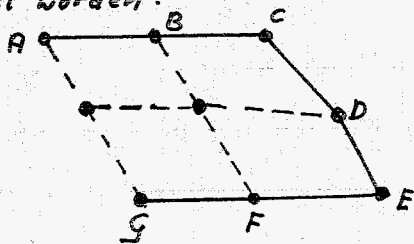


fig. 9

We kunnen 3 fasen onderscheiden bij het verdelen v.e. strook:

- a) Verdeel het gebied ABCDEFG. $t_{max} = 2$.

t_{max} geeft aan het aantal malen dat een standaardverdeling gemaakt moet worden.



Voor het verdelen gebruiken we procedure DIVA

fig. 10

- b) Verdeel het gebied IJKLMNA. Dit geschiedt op de zelfde manier als onder a

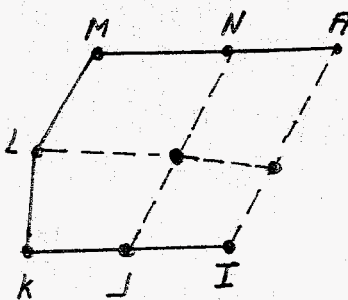


fig. 11

c) Indien $I = G$ hebben we een knooppunt te veel gegenereerd.
 We verwijderen dan het laatst gegenereerde knooppunt en moeten de topologische beschrijving v.d. middelste 4 elementen nog in orde maken.

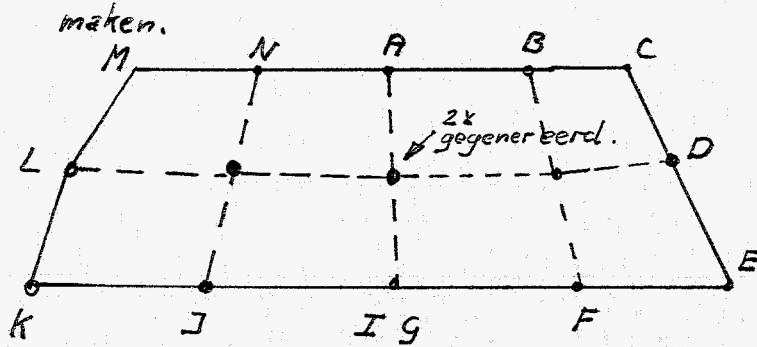


fig 12.

Indien tussen I en G een punt ligt, wordt het gebied AGHI verdeeld m.b.v. DIVB en indien tussen G en I 3 knooppunten liggen m.b.v. DIVD (fig 13)

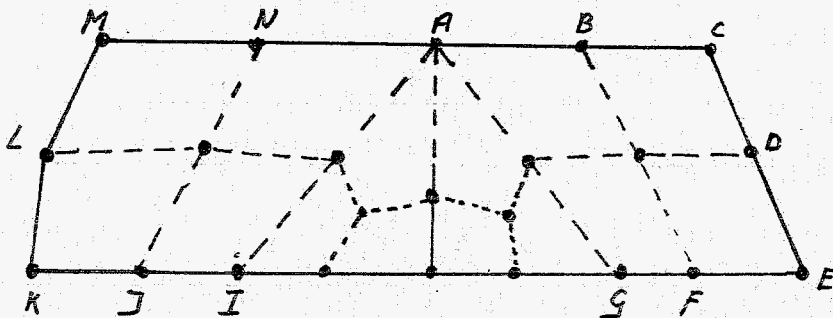
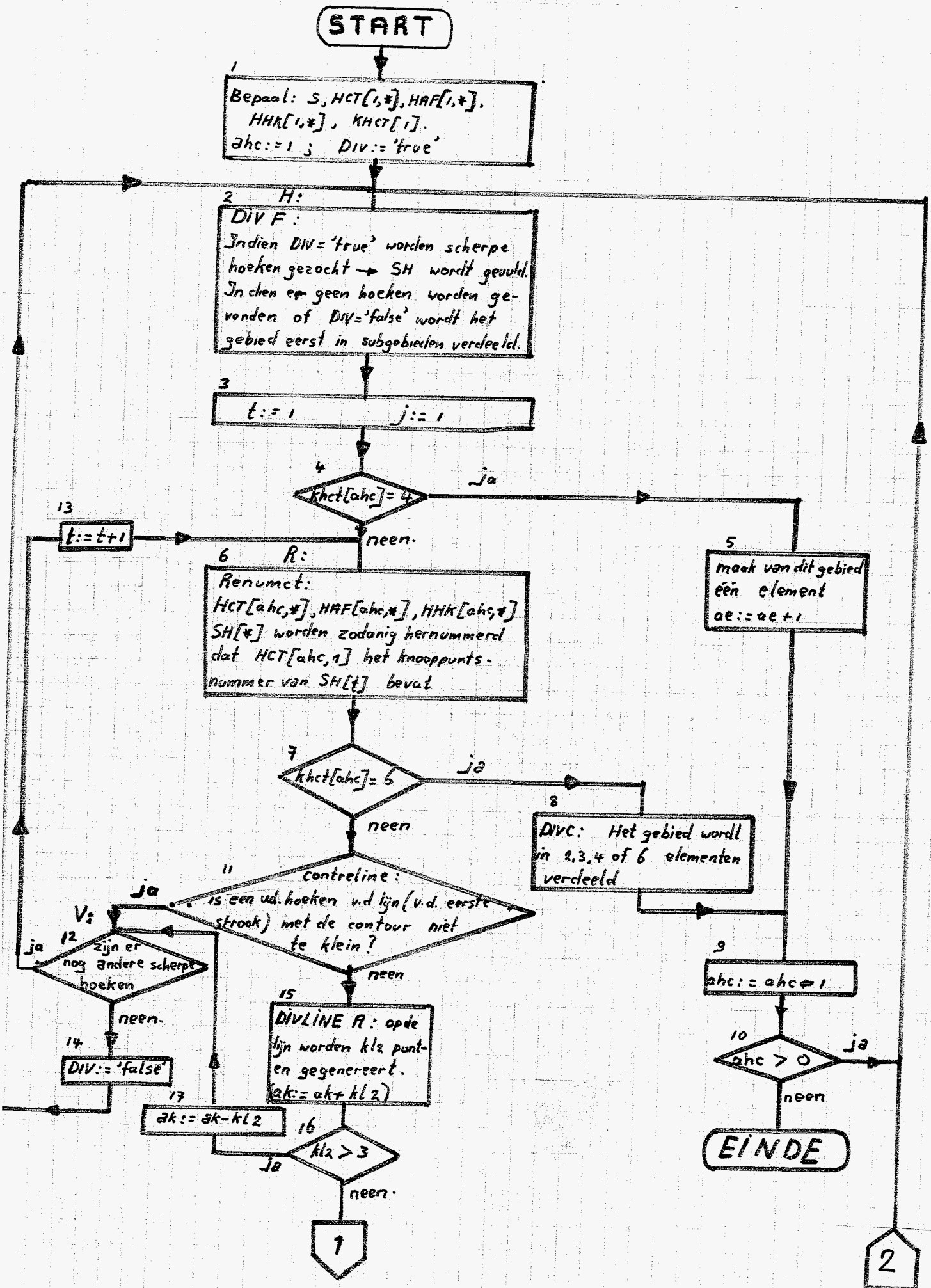
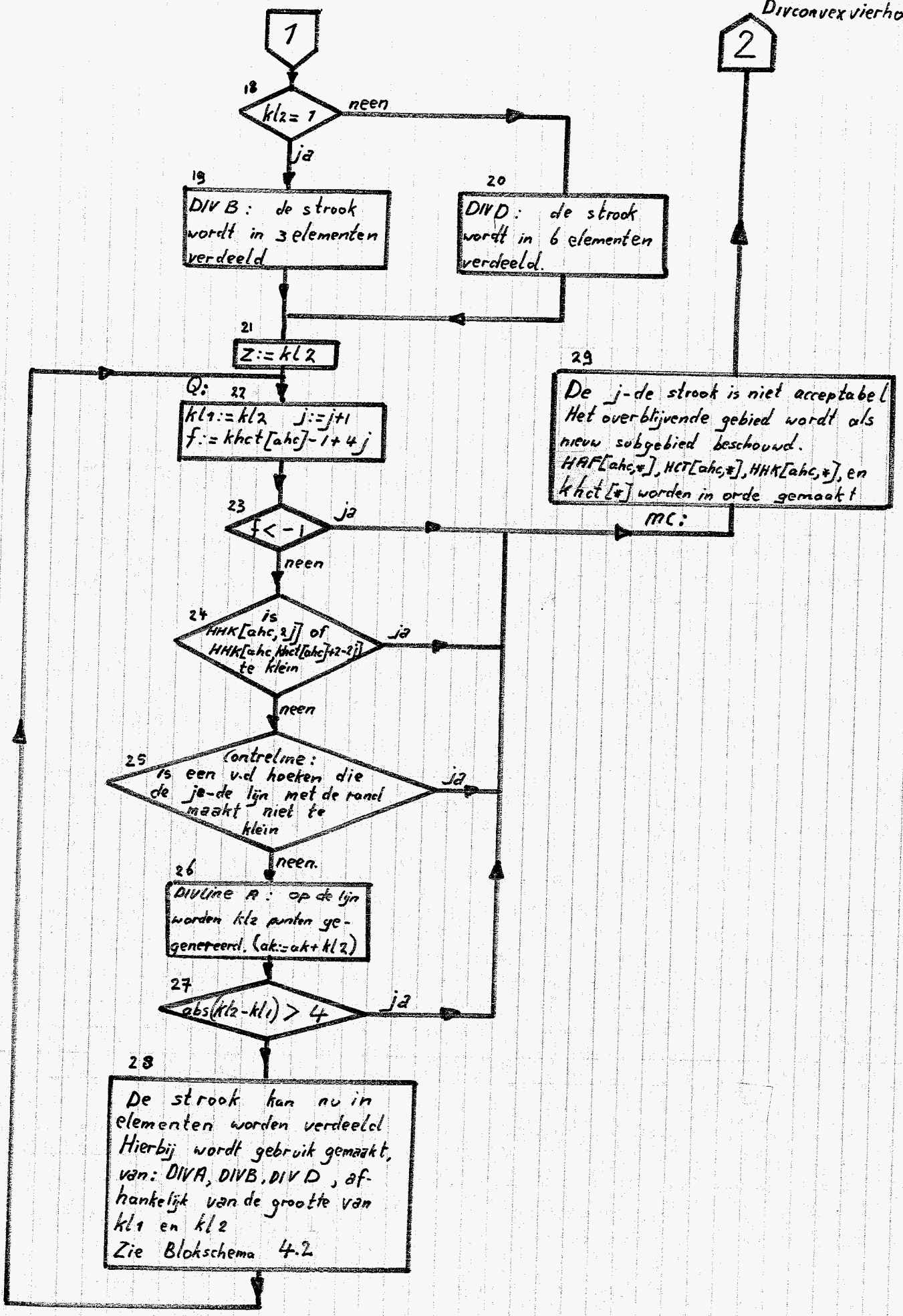


fig 13.

4.7

Blokschema.

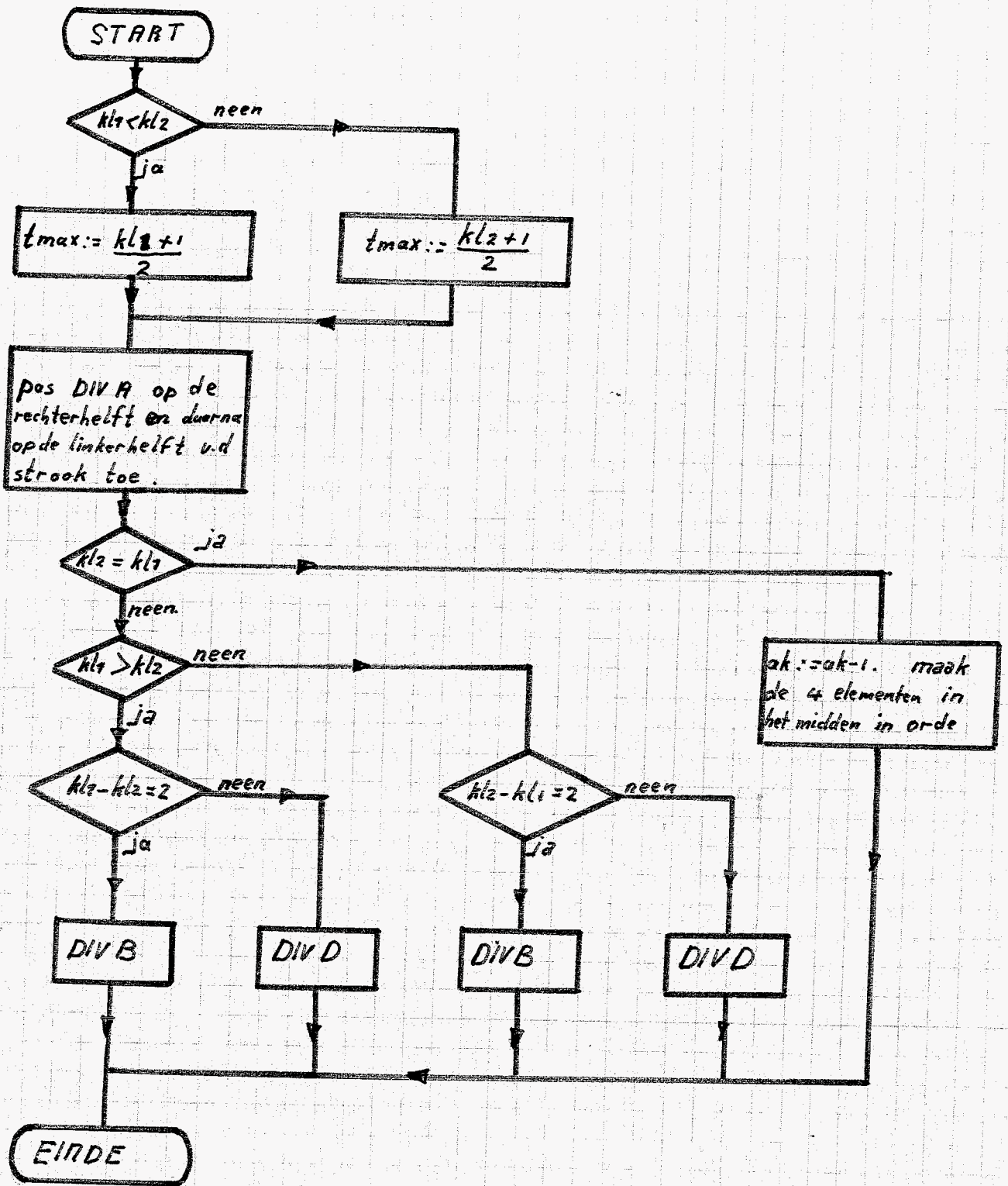




4.2

Blokschema:

een strook in elementen verdelen (blok 28 van Hoofdblok)



5 Lokale parameters.5.1 Inleiding

In het volgende worden een aantal lokale parameters besproken. Een aantal van deze parameters zijn gehanteerd in het Blokschema: 4. Een gedeelte van de parameters wordt tevens gebruikt als globale parameters bij de gehanteerde procedures. Bij de beschrijving van deze procedures zal vaak naar dit hoofdstuk worden verwezen.

5.2 array HCT

Array met de grenzen $[1:p, 0:kct+s]$

In dit array worden de knooppuntsnummers van de contouren van de verschillende gemaakte subgebiedjes opgeslagen.

p is een ruime schatting van het max. te verwachten aantal subgebiedjes ($p = 3 \times \ln kct$)

$kct+s$ is een ruime schatting van het max aantal knooppunten dat op een hulpcontour kan voorkomen.

array HAF, HHK.

Zijn arrays met de zelfde grenzen als HCT, en bevatten resp. de afstanden en de cosinus v.d. hoeken van de verschillende hulpcontouren.

array KHCT

Array met de grenzen $[1:p]$

Dit array bevat het aantal knooppunten op de verschillende hulpcontouren.

integer ahc

geeft het laatst gegenereerde subgebied aan.

array SH

array met de grenzen $[1:6]$.

In 3.1 hebben we gezien dat we beginnen met het zoeken v.d. meest "scherpe" hoek, die echter kleiner moet zijn dan een waarde α . Wanneer α b.v. 90° is zullen we omdat we een convex gebied hebben maximaal 4 "scherpe" hoeken aantreffen. Wanneer $HHK[ahc, i]$ de meest "scherpe" hoek is die kleiner is dan α dan krijgt $SH[1]$ de waarde i . Wanneer $HHK[ahc, j]$ de op een na scherpste hoek is, kleiner dan α dan krijgt $SH[2]$ de waarde j etc...

- integer ash geeft aan het aantal hoeken dat op de hierboven beschreven wijze is gevonden.
- array omt array met de grenzen [o:ket], wordt gebruikt om de contour te beschrijven van gebiedjes waarin we een bepaalde standaardverdeling wensen aan te brengen (DIVA, DIVB, DIVC, DIVD)
- integer kl₁, kl₂ geven aan het aantal knooppunten die op een lijn komen te liggen. kl₂: laatste lijn kl₁: voorlaatste lijn
- integer f geeft aan wanneer er te weinig knooppunten overblijven om een zinnige lijn te trekken
- integer tmax geeft aan hoe vaak bij DIVA een bepaalde standaardverdeling moet worden gemaakt.
- integer j een maat voor het aantal stroken dat afgehakt is.
- real s de kortste afstand uit het array AF, wordt o.a. gebruikt als standaardlengte bij de grofheidsbepaling.
- boolean DIV de procedure DIVF bestaat uit 2 fasen: het zoeken van "scherpe" hoeken en het verdelen in subgebieden. Wanneer DIV de waarde false heeft wordt het zoeken van "scherpe" hoeken overgeslagen.

6 Discutabel.

De gevolgde methode in de procedure zal op een aantal plaatsen voor verbetering vatbaar zijn. Belangrijke maatstaven hiervoor zijn de verkregen elementvorm en de benodigde rekentijd.

Een criterium dat op beide maatstaven invloed heeft, is de toelaatbare hoek waaronder een lijn de contour mag snijden.

Is de toelaatbare hoek klein dan kunnen de elementen langs de rand een onaangename vorm krijgen. De benodigde rekentijd zal dan verminderen omdat dan minder subgebiedjes hoeren te ontstaan.

Het grootste deel v.d. rekentijd is nodig voor het bepalen v.d. elementgrootte in het gebied. Dit gebeurt in de procedures: DIVA, DIVD en

Divline A. m.b.v. de procedure BPG. Bij de betreffende procedures zal op dit belangrijk aspect worden teruggekomen.

7. Programmatext

```

'PROCEDURE' DIVCONVEXVIERHDEK(CO,CT,KCT,AF,HK,TD,AE,AK);
  'ARRAY' CO[1,1],CT[0],AF[0],HK[0],TD[1,1]; 'INTEGER' KCT,AE,AK;
  'BEGIN' 'BOOLEAN' DIV; 'INTEGER' ASH,J,AHC,P,KL1,KL2,F,K,TMAX,T,Z,L;
    P:=3*LN(KCT);
    'BEGIN' 'ARRAY' SH[1:6],HCT[1:P,0:KCT+5],DMT[0:KCT],HAF[1:P,0:KCT+5],
      HHK[1:P,0:KCT+5],KHCT[1:P];
      'REAL' S,A,B,C,D,E,G; 'LABEL' H,D,T,R,C,MC,V;
      S:=1000; DIV:='TRUE'; KHCT[1]:=KCT; AHC:=1;
      'FOR' J:=0 'STEP' 1 'UNTIL' KCT 'DO'
        'BEGIN' 'IF' S 'GTR' AFIJ 'THEN' S:=AFIJ;
          HCT[1,J]:=CT[J]; HAF[1,J]:=AFIJ; HHK[1,J]:=HK[J]; 'END';
          HCT[1,KCT+1]:=HCT[1,1]; HAF[1,KCT+1]:=HAF[1,1];
          HHK[1,KCT+1]:=HHK[1,1];
H: DIV F(CO,KHCT,HCT,AHC,AF,SH,ASH,AK,DIV,S,CT,KCT,HAF,HHK);
  T:=1; J:=1; 'IF' KHCT[AHC] 'EQL' 4 'THEN'
    'BEGIN' TD[AE,1]:=HCT[AHC,1]; TD[AE,2]:=HCT[AHC,2];
      TD[AE,3]:=HCT[AHC,3]; TD[AE,4]:=HCT[AHC,4];
      AE:=AE+1; 'GOTO' D T; 'END';
R: RENUMCT(HCT[AHC,*],KHCT[AHC],SH,HHK[AHC,*],HAF[AHC,*],ASH,T);
  'IF' KHCT[AHC] 'EQL' 6 'THEN'
    'BEGIN' DIV(CO,TD,AK,AE,HHK[AHC,*],HCT[AHC,*]); 'GOTO' D 1;
    'END';
  'IF' CONTRLINE(CO,KHCT[AHC],HCT[AHC,*],HAF[AHC,*],0.8,J) 'THEN'
  I: 'BEGIN' T:=T+1; 'IF' T 'LEQ' ASH 'THEN' 'GOTO' R 'ELSE'
    'BEGIN' DIV:='FALSE'; 'GOTO' H; 'END'; 'END';
  DIVLINEA(KCT,CT,CO,AF,HCT[AHC,*],KHCT[AHC],AK,2*J+1,KHCT[AHC],
    =2*J+1,'FALSE','TRUE',S,KL2);
  'IF' KL2 'GTR' 3 'THEN' 'BEGIN' AK:=AK-KL2; 'GOTO' V; 'END';
  DMT[1]:=HCT[AHC,1]; DMT[4]:=AK-1;
  DMT[2]:=HCT[AHC,2]; DMT[5]:=HCT[AHC,KHCT[AHC]-1];
DMT[3]:=HCT[AHC,3]; DMT[6]:=HCT[AHC,KHCT[AHC]];
  'IF' KL2 'EQL' 1 'THEN' DIVB(CO,TD,AK,AE,DMT);
  'ELSE' 'BEGIN' DMT[7]:=DMT[5]; DMT[8]:=DMT[6]; DMT[4]:=AK-1;
    DMT[5]:=AK-2; DMT[6]:=AK-3;
    DIVD(KCT,CT,CO,AF,TD,AK,AE,DMT); 'END';
  Z:=KL2;
  I: KL1:=KL2; J:=J+1; F:=KHCT[AHC]-1-4*J;
  'IF' F 'LEQ' 1 'THEN' 'GOTO' MC;
  'IF' HHK[AHC,2*J] 'GTR' =0.1 'OR' HHK[AHC,KHCT[AHC]+2*2*J]
    'GTR' =0.1 'THEN' 'GOTO' MC;
    'IF' CONTRLINE(CO,KHCT[AHC],HCT[AHC,*],HAF[AHC,*],0.8,J)
    'THEN' 'GOTO' MC;
  DIVLINEA(KCT,CT,CO,AF,HCT[AHC,*],KHCT[AHC],AK,2*J+1,KHCT[AHC],
    =2*J+1,'FALSE','TRUE',S,KL2);
  'IF' ABS(KL1-KL2) 'GTR' 4 'THEN' 'BEGIN' AK:=AK-KL2; 'GOTO' MC 'END';
  'IF' KL1 'LSS' KL2 'THEN' TMAX:=(KL1+1)/2 'ELSE' TMAX:=(KL2+1)/2;
  'FOR' K:=1 'STEP' 1 'UNTIL' TMAX 'DO'
    'BEGIN' DMT[K]:=AK-1-KL2-TMAX+K-2; DMT[TMAX+3+K]:=AK-K;
    'END'; DMT[TMAX+1]:=HCT[AHC,2*J-1];
      DMT[TMAX+2]:=HCT[AHC,2*J];
      DMT[TMAX+3]:=HCT[AHC,2*J+1];
      DIVA(KCT,CT,CO,AF,TD,AK,AE,TMAX,DMT);

```

```

'FOR'K:=1'STEP'1'UNTIL'TMAX'DO' DIVG 460
  'BEGIN'OMT[K]:=AK-KL2-K; DIVG 470
    OMT[TMAX+3+K]:=AK-KL2-KL1-Z-1+K-TMAX;'END'; DIVG 480
    OMT[TMAX+1]:=HCT[AHC,KHCT[AHC]-2*J+1]; DIVG 490
    OMT[TMAX+2]:=HCT[AHC,KHCT[AHC]-2*J+2]; DIVG 500
    OMT[TMAX+3]:=HCT[AHC,KHCT[AHC]-2*J+3]; DIVG 510
    DIVA(KCT,CT,CO,AF,TD,AK,AE,TMAX,OMT); DIVG 520
  'IF'KL2'EQL'KL1'THEN''BEGIN'AK:=AK-1;TDLAE-1,4]:=AK-TMAX; DIVG 530
    TDLAE-2,4]:=AK-TMAX;'END' DIVG 540
  'ELSE''BEGIN' DIVG 541
    'IF'KL1'GTR'KL2'THEN' DIVG 550
      'BEGIN'OMT[1]:=AK-3*TMAX;OMT[2]:=AK-1; DIVG 560
        OMT[3]:=AK-TMAX-KL2-Z-KL1-1;OMT[4]:=OMT[3]+1; DIVG 570
        OMT[5]:=OMT[4]+1;OMT[6]:=AK-TMAX-1; DIVG 580
        'IF'KL1-KL2'EQL'2'THEN'DIVB(CO,TD,AK,AE,OMT) DIVG 590
        'ELSE''BEGIN'OMT[6]:=OMT[5]+1;OMT[7]:=OMT[6]+1;OMT[8]:=AK- DIVG 600
          TMAX-1;DIVD(KCT,CT,CO,AF,TD,AK,AE,OMT); DIVG 610
          'END'; DIVG 620
        'END' DIVG 630
      'ELSE''BEGIN'OMT[1]:=AK-3*TMAX-KL2-Z;OMT[2]:=AK-TMAX-1; DIVG 640
        OMT[3]:=AK-3*TMAX ;OMT[4]:=OMT[3]-1; DIVG 650
        OMT[5]:=OMT[4]-1;OMT[6]:=AK-1; DIVG 660
        'IF'KL2-KL1'EQL'2'THEN'DIVB(CO,TD,AK,AE,OMT) DIVG 670
        'ELSE''BEGIN'OMT[5]:=OMT[5]-1;OMT[7]:=OMT[6]-1; DIVG 680
        OMT[8]:=AK-1;DIVD(KCT,CT,CO,AF,TD,AK,AE,OMT); DIVG 690
        'END'; DIVG 700
      'END'; DIVG 710
    'END';

```

```

'END'; DIVG 701
Z:=2*TMAX+ABS(KL2-KL1)-1;'GOTO'Q; DIVG 720
AC: L:=KHCT[AHC]-4*J+5; DIVG 730
'FOR'K:=1'STEP'1'UNTIL'L'DO' DIVG 740
  'BEGIN'HCT[AHC,K]:=HCT[AHC,2*J+2+K];HHK[AHC,K]:=HHK[AHC,2*J+2+K]; DIVG 750
  HAF[AHC,K]:=HAF[AHC,2*J+2+K];'END'; DIVG 760
'FOR'K:=1'STEP'1'UNTIL'KL1'DO' DIVG 770
  'BEGIN'HCT[AHC,L+K]:=AK-Z-KL1-1+K;HHK[AHC,L+K]:=-1;'END'; DIVG 780
A:=CO[HCT[AHC,L-1],1];C:=CO[HCT[AHC,L],1];E:=CO[HCT[AHC,L+1],1]; DIVG 790
B:=CO[HCT[AHC,L-1],2];D:=CO[HCT[AHC,L],2];G:=CO[HCT[AHC,L+1],2]; DIVG 800
HHK[AHC,L]:=HKCOS(A,B,C,D,E,G);HAF[AHC,L]:=SQRT((E-C)**2+ DIVG 810
(G-D)**2);HCT[AHC,L+KL1+1]:=HCT[AHC,1]; DIVG 820
A:=E;B:=G;'FOR'K:=1'STEP'1'UNTIL'KL1'DO' DIVG 830
  'BEGIN'C:=CO[HCT[AHC,L+1+K],1]; DIVG 840
    D:=CO[HCT[AHC,L+1+K],2]; DIVG 850
    HAF[AHC,L+K]:=SQRT((A-C)**2+(B-D)**2);A:=C;B:=D;'END'; DIVG 860
    C:=CO[HCT[AHC,L+KL1],1];E:=CO[HCT[AHC,2],1]; DIVG 870
    G:=CO[HCT[AHC,L+KL1],2];G:=CO[HCT[AHC,2],2]; DIVG 880
    HHK[AHC,1]:=HKCOS(C,D,A,B,E,G); DIVG 890
    HHK[AHC,0]:=HHK[AHC,L+KL1];HHK[AHC,L+KL1+1]:=HHK[AHC,1]; DIVG 900
    HCT[AHC,0]:=HCT[AHC,L+KL1]; DIVG 910
    HAF[AHC,0]:=HAF[AHC,L+KL1];HAF[AHC,L+KL1+1]:=HAF[AHC,1]; DIVG 920
    KHCT[AHC]:=L+KL1; DIVG 930
  'GOTO'H; DIVG 940
T: AHC:=AHC-1;'IF'AHC'GTR'0'THEN''GOTO'H; DIVG 950
'END'; DIVG 951
END'DIVCONVEXVIERHOEK; DIVG 960

```

Procedure DIV A1. Inleiding.

De procedure DIV A verdeelt een gebied zoals aangegeven in fig 1 in elementen.

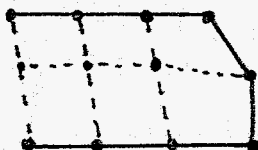


fig 1

2. Gebruiksaanwijzing.

$DIV A(kct, ct, co, af, td, ak, ae, tmax, omt, s)$

2.1 Globale parameters

procedure BPG

2.2 Formele parameters

integer kct

array ct

array co

array af

array td

array ak

array ae

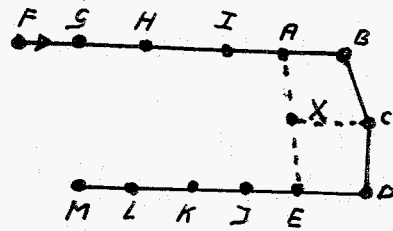
integer tmax

array omt

Zie Divconvexvierhoek 2.2.

Zie Divconvexvierhoek 5.2

13

Werking v.d. procedurevoorbeeldfig 2

$$\text{omt}[1] = F \text{ (knooppuntsnr.)}$$

$$\text{omt}[2] = G$$

$$\text{omt}[2 \times t_{\max} + 3] = M$$

$$t_{\max} = 5$$

We trekken lijn AE . In de punten A en E bepalen we de grofheid en we verdelen daarna de lijn AE in 2 stukken die zich verhouden als de grofheid in A en $E \rightarrow$ knooppunt X .

We hebben nu 2 elementen: $ABCX$ en $XCDE$.

We herhalen dit door IJ te trekken, daarna HK ... etc dus in totaal voeren we t_{\max} maal een standaardverdeling uit. We genereren t_{\max} knooppunten en $2 \times t_{\max}$ elementen.

4

Discutabel

Voor elke 2 elementen die gegenereerd worden, moet 2 maal de grofheid worden bepaald. Deze grofheidsbepaling kost vrij veel rekentijd. We zouden deze achterwege kunnen laten door b.v.:

a) X in het midden van AE te leggen of:

b) AE te verdelen in de verhouding $(AB + AI) : (ED + EI)$.

We hebben in deze procedure dan de formele parameters:

kt , ct en af niet nodig.

Voor deze procedure kan de benodigde rekentijd dan een factor 100 lager worden

5 Programmatekst

```
'PROCEDURE' DIVA(KCT, CT, CO, AF, TD, AK, AE, TMAX, OMT);
'INTEGER' KCT, AK, AE, TMAX;
'ARRAY' CT(0), CO(1,1), AF(0), TD(1,1), OMT(0);
'BEGIN' 'REAL' GA, GB, A, B, C, D;
      'INTEGER' T;
      'FOR' T:=0 'STEP' 1 'UNTIL' TMAX=1 'DO'
      'BEGIN' A:=CO[OMT[TMAX-T],1]; C:=CO[OMT[TMAX+4+T],1];
            B:=CO[OMT[TMAX-T],2]; D:=CO[OMT[TMAX+4+T],2];
            BPG(CO, CT, A, B, KCT, GA, 1, AF);
            BPG(CO, CT, C, D, KCT, GB, 1, AF);
            CO[AK,1]:=A+GA/(GA+GB)*(C-A);
            CO[AK,2]:=B+GA/(GA+GB)*(D-B);
            TD[AE,1]:=OMT[TMAX-T]; TD[AE,2]:=OMT[TMAX+1-T];
            TD[AE,3]:=OMT[TMAX+2-T]; TD[AE,4]:=AK; AE:=AE+1;
            TD[AE,1]:=OMT[TMAX+2+T]; TD[AE,2]:=OMT[TMAX+3+T];
            TD[AE,3]:=OMT[TMAX+4+T]; TD[AE,4]:=AK;
            OMT[TMAX-T+1]:=AK; OMT[TMAX+T+3]:=AK;
            AK:=AK+1; AE:=AE+1;
      'END';
'END' DIVA;
```

DIVA 10
DIVA 20
DIVA 40
DIVA 50
DIVA 60
DIVA 70
DIVA 80
DIVA 90
DIVA 100
DIVA 110
DIVA 120
DIVA 130
DIVA 140
DIVA 150
DIVA 160
DIVA 170
DIVA 180
DIVA 190
DIVA 200
DIVA 210

Procedure DIV B

DIV B 1

1 Inleiding

De procedure verdeelt een gebied zoals is aangegeven in fig 1 in 3 elementen door in het zwaartepunt v.d knooppunten: omt[2], omt[4] en omt[6] een knooppunt te leggen.

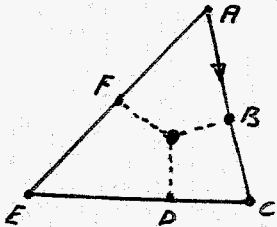


fig 1

omt[1] = A
omt[6] = F

2 Gebruiksaanwijzing

DIVB (co, td, ak, ae, omt)

Formele parameters

- array co
 - array td
 - integer ak
 - integer ae
 - array omt →
- Zie Divconvexvierhoek 2.2
- Zie Divconvexvierhoek 5.2

Discutabel

De motivering van de situering van het knooppunt is:

- a) We krijgen nooit elementen met hoeken $> 180^\circ$
- b) procedure vraagt nauwelijks rekentijd.

We zouden evenals bij DIV A het knooppunt kunnen genereren door een aantal malen de grofheid te bepalen. We zullen de hoeken v.d ontstane elementen dan echter moeten controleren.

Ook zouden we het punt zodanig kunnen plaatsen dat de 3 bijbehorende hoeken elk zoveel mogelijk 120° zijn. Beide methodes zullen echter veel meer rekentijd vergen.

4 Programmatekst

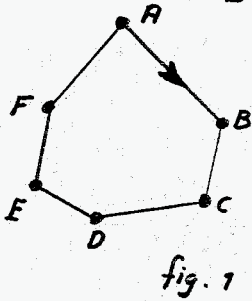
```
'PROCEDURE' DIVB(CO,TD,AK,AE,OMT);  
'INTEGER' AK,AE;'ARRAY' CO[1,1],TD[1,1],OMT[0];  
'BEGIN'  
CO[AK,1]:=(CO[OMT[2],1]+CO[OMT[4],1]  
TD[AE,1]:=OMT[1];TD[AE,2]:=OMT[2];TD[AE,3]:=AK;TD[AE,4]:=OMT[6];  
CO[AK,2]:=(CO[OMT[2],2]+CO[OMT[4],2]  
AE:=AE+1;  
TD[AE,1]:=OMT[3];TD[AE,2]:=OMT[4];TD[AE,3]:=AK;TD[AE,4]:=OMT[2];  
AE:=AE+1;  
TD[AE,1]:=OMT[5];TD[AE,2]:=OMT[6];TD[AE,3]:=AK;TD[AE,4]:=OMT[4];  
AE:=AE+1;AK:=AK+1;  
'END' DIVB;
```

DIVB 1
DIVB 2
DIVB 3
DIVB 0.
DIVB 6
DIVB 50
DIVB 70
DIVB 80
DIVB 90
DIVB 100
DIVB 110
DIVB 120

Procedure DIVC

1 Inleiding

De procedure verdeelt een gebied zoals is aangegeven in fig 1 in 2, 3, 4 of 6 elementen. Welke verdeling gekozen wordt is afhankelijk v.d. vorm van het gebied.



omt[1] = A (scherpste hoek) hk[1] = cosinus A

 omt[6] = F hk[6] = cosinus F

2 Gebruiksaanwijzing

DIVC (co, td, ak, ae, hk, omt)

1 Globale parameters

procedure DIVB

2 Formele parameters

- array co
- array td
- array ak
- array ae
- array hk

- array omt

} zie Divconvexvierhoek 2.2

array met de grenzen [0:6], bevat de cosinus v.d. hoeken v.h. gebied.

zie Divconvexvierhoek 5.2.

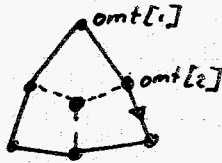
3 Werking v.d procedure

De *cosinus* v.d hoeken van het gebied is voor ons het criterium wat bepaalt welke verdeling ontstaat. Voor de gehanteerde criteria wordt verwezen naar 5: Blokschema.

De volgende 5 verdelingen zijn mogelijk:

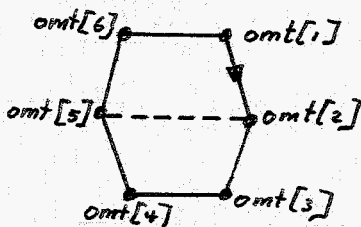
3.1 verdeling 1

Dit is de reeds behandelde procedure Div B:



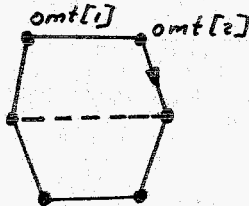
Er worden een knooppunt en drie elementen gegenereerd.

3.2 verdeling 2



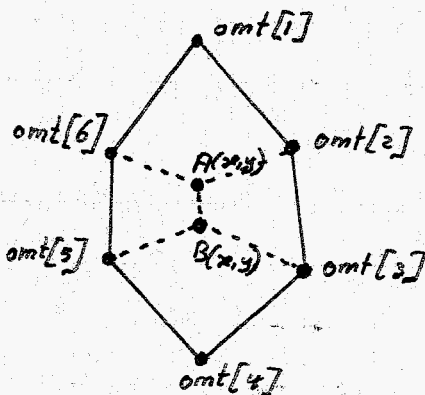
Er worden geen knooppunt en twee elementen gegenereerd.

3.3 verdeling 3



Er worden geen knooppunt en twee elementen gegenereerd.

3.4 verdeling 4



Er worden 2 knooppunten gegenereerd.

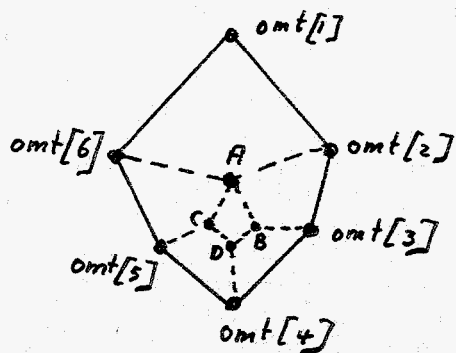
In de procedure gebeurt dit door A_x te leggen op het gemiddelde van 2 maal de x -coördinaat van $omt[2]$ en $omt[6]$ en 1 maal de x -coördinaat van $omt[3]$ en $omt[5]$.

A_y komt te liggen op het gemiddelde van de overeenkomstige y -coördinaten.

B_x komt te liggen op het gemiddelde van 2

maal de x -coördinaat van $omt[3]$ en $omt[5]$ en 1 maal de x -coördinaat van $omt[2]$ en $omt[6]$. B_y komt te liggen op het gemiddelde v.d overeenkomstige y -coördinaten. Er worden in totaal 4 elementen gegenereerd.

3.5 verdeling 5



Er worden 4 knooppunten gegenereerd.
 A wordt op de zelfde manier gevonden als A van 3.4
 B komt op het zwaartepunt van A, omt[3] en omt[4].
 C komt op het zwaartepunt van A, omt[4] en omt[5].
 D komt op het zwaartepunt van B, omt[4] en C.
 De verkregen verdeling is niet ideaal, ze zal
 echter niet vaak hoeven voor te komen.

4 Discutabel

De verschillende criteria (zie e.v. blokschema) zijn voor verandering vatbaar.

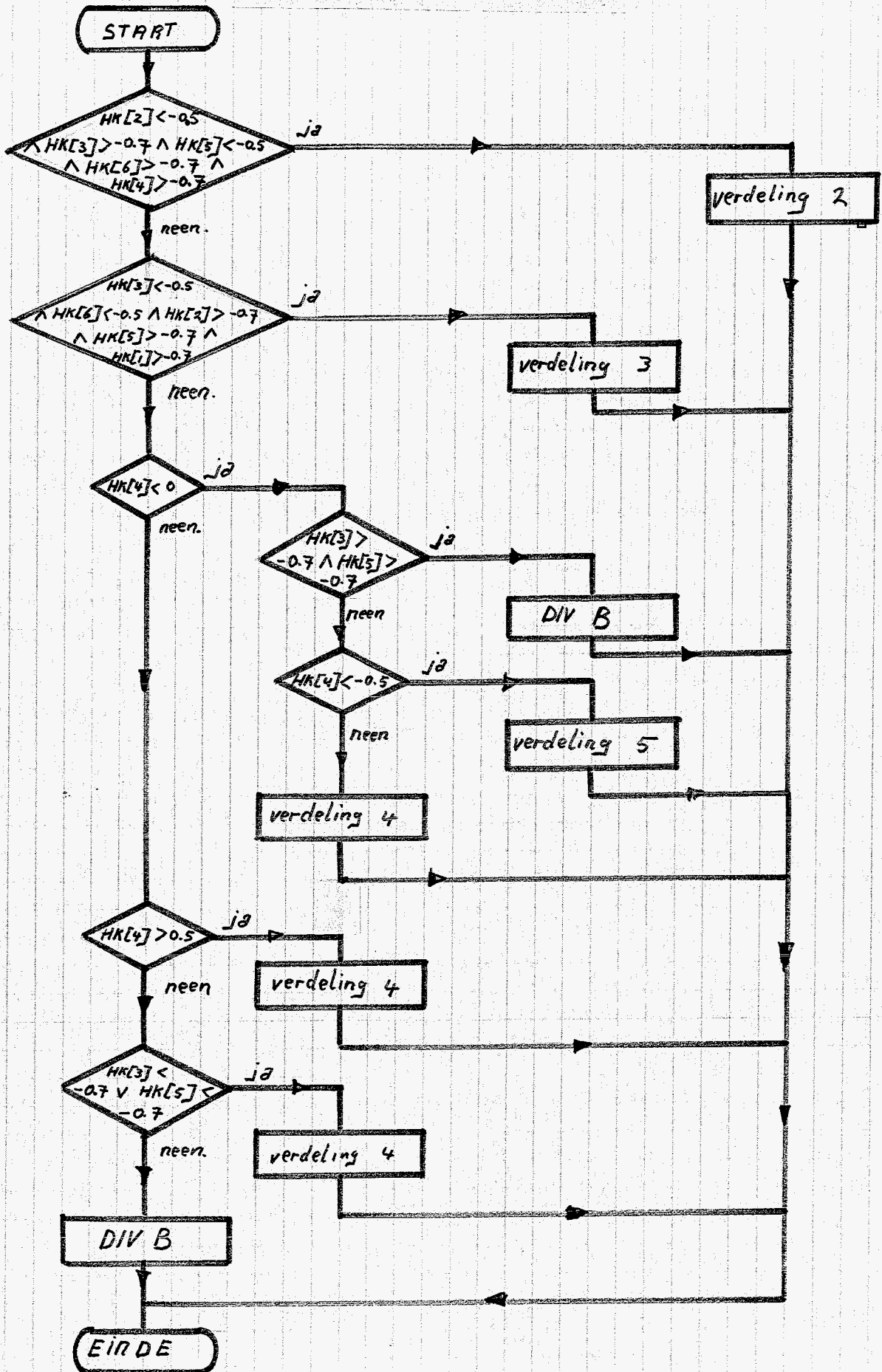
Anderen dan de gehanteerde verdelingen zijn mogelijk.

De positionering van de knooppunten kan ook m.b.v. grafheidsbepaling tot stand komen, de rekentijd zal dan echter toenemen.

Gezien het feit dat deze procedure in het totale programma niet al te vaak gehanteerd wordt, alleen wanneer gebiedjes met 6 knooppunten overblijven, kan verbetering van deze procedure in eerste instantie beter achterwegen blijven.

5

Blokschema



6 Programmatext

```

'PROCEDURE' DIVC(CO,TD,AK,AE,HK,OMT); DIVC 10
  'INTEGER' AK,AE; 'ARRAY' CO[1,1],TD[1,1],HK[0],OMT[0]; DIVC 20
  'BEGIN' 'LABEL' P,0,OUT; 'INTEGER' J; DIVC 30
  'IF' HK[2]'LSS'=-0.5'AND'HK[3]'GTR'=-0.7'AND'HK[5]'LSS'=-0.5'AND' DIVC 31
  HK[6]'GTR'=-0.7'AND'HK[4]'GTR'=-0.7'THEN' DIVC 32
  'BEGIN' 'FOR' J:=1'STEP'1'UNTIL'4'DO' TD[AE,J]:=OMT[J+1]; AE:=AE+1; DIVC 33
  TD[AE,1]:=OMT[5]; TD[AE,2]:=OMT[6]; TD[AE,3]:=OMT[1]; TD[AE,4]:= DIVC 35
  OMT[2]; AE:=AE+1; 'GOTO' OUT; DIVC 36
  'END'; DIVC 36A
  'IF' HK[3]'LSS'=-0.5'AND'HK[6]'LSS'=-0.5'AND' DIVC 37
  HK[2]'GTR'=-0.7'AND'HK[5]'GTR'=-0.7'AND'HK[4]'GTR'=-0.7'THEN' DIVC 38
  'BEGIN' 'FOR' J:=1'STEP'1'UNTIL'3'DO' TD[AE,J]:=OMT[J]; DIVC 39
  TD[AE,4]:=OMT[6]; AE:=AE+1; DIVC 39B
  'FOR' J:=1'STEP'1'UNTIL'4'DO' TD[AE,J]:=OMT[J+2]; AE:=AE+1; DIVC 39C
  'GOTO' OUT; 'END'; DIVC 39D
  'IF' HK[4]'LEQ'0'THEN' DIVC 40
  'BEGIN' 'IF' HK[3]'GTR'=-0.7'AND'HK[5]'GTR'=-0.7'THEN' DIVC 50
  'BEGIN' DIVC(CO,TD,AK,AE,OMT); 'GOTO' OUT; 'END' DIVC 60
  'ELSE' 'BEGIN' 'IF' HK[4]'LEQ'=-0.5'THEN' 'GOTO' P DIVC 70
  'ELSE' 'GOTO' Q; DIVC 80
  'END' DIVC 90
  'END' DIVC 100
  'ELSE' 'BEGIN' 'IF' HK[4]'GTR'0.5'THEN' 'GOTO' Q DIVC 110
  'ELSE' 'BEGIN' 'IF' HK[3]'LSS'=-0.7'OR'HK[5]'LSS'=-0.7 DIVC 120
  'THEN' 'GOTO' Q DIVC 130
  'ELSE' 'BEGIN' DIVC(CO,TD,AK,AE,OMT); DIVC 140
  'GOTO' OUT; 'END'; DIVC 150
  'END'; DIVC 160
  'END'; DIVC 170
  TD[AE,1]:=OMT[1]; TD[AE,2]:=OMT[2]; TD[AE,3]:=AK ; TD[AE,4]:=OMT[6]; DIVC 180
  AE:=AE+1; DIVC 190
  TD[AE,1]:=OMT[2]; TD[AE,2]:=OMT[3]; TD[AE,3]:=AK+1 ; TD[AE,4]:=AK ; DIVC 200
  AE:=AE+1; DIVC 210
  TD[AE,1]:=OMT[3]; TD[AE,2]:=OMT[4]; TD[AE,3]:=OMT[5]; TD[AE,4]:=AK+1 ; DIVC 220
  AE:=AE+1; DIVC 230
  TD[AE,1]:=OMT[5]; TD[AE,2]:=OMT[6]; TD[AE,3]:=AK ; TD[AE,4]:=AK+1 ; DIVC 240
  AE:=AE+1; DIVC 250
  CO[AK,1]:=(CO[OMT[6],1]*2+CO[OMT[2],1]*2+CO[OMT[3],1]+ DIVC 260
  CO[OMT[5],1])/6; DIVC 270
  CO[AK,2]:=(CO[OMT[6],2]*2+CO[OMT[2],2]*2+CO[OMT[3],2]+ DIVC 280
  CO[OMT[5],2])/6; AK:=AK+1; DIVC 290
  CO[AK,1]:=(CO[OMT[3],1]*2+CO[OMT[5],1]*2+CO[OMT[6],1]+ DIVC 300
  CO[OMT[2],1])/6; DIVC 310
  CO[AK,2]:=(CO[OMT[3],2]*2+CO[OMT[5],2]*2+CO[OMT[6],2]+ DIVC 320
  CO[OMT[2],2])/6; AK:=AK+1; DIVC 330
  'GOTO' OUT; DIVC 340
  TD[AE,1]:=OMT[1]; TD[AE,2]:=OMT[2]; TD[AE,3]:=AK ; TD[AE,4]:=OMT[6]; DIVC 350
  AE:=AE+1; DIVC 360
  TD[AE,1]:=OMT[2]; TD[AE,2]:=OMT[3]; TD[AE,3]:=AK+1 ; TD[AE,4]:=AK ; DIVC 370
  AE:=AE+1; DIVC 380
  TD[AE,1]:=OMT[3]; TD[AE,2]:=OMT[4]; TD[AE,3]:=AK+3 ; TD[AE,4]:=AK+1 ; DIVC 390
  AE:=AE+1; DIVC 400
  TD[AE,1]:=OMT[4]; TD[AE,2]:=OMT[5]; TD[AE,3]:=AK+2 ; TD[AE,4]:=AK+3 ; DIVC 410
  AE:=AE+1; DIVC 420
  TD[AE,1]:=OMT[5]; TD[AE,2]:=OMT[6]; TD[AE,3]:=AK ; TD[AE,4]:=AK+2 ; DIVC 430
  AE:=AE+1; DIVC 440
  TD[AE,1]:=AK ; TD[AE,2]:=AK+1 ; TD[AE,3]:=AK+3 ; TD[AE,4]:=AK+2 ; DIVC 450
  AE:=AE+1; DIVC 460
  CO[AK,1]:=(CO[OMT[2],1]+CO[OMT[3],1]+CO[OMT[5],1]+CO[OMT[6],1])/4; DIVC 470

```

```

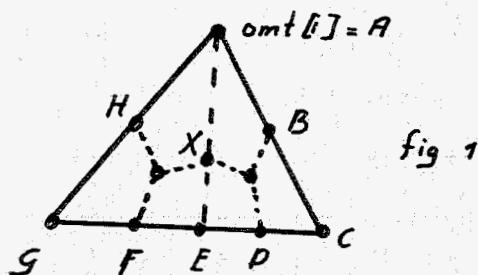
COLAK,2):=(CO[DMT[2],2]+CO[DMT[3],2]+CO[DMT[5],2]+CO[DMT[6],2])/4;      DIVC 480
AK:=AK+1;                                                                    DIVC 490
COLAK,1):=(CO[DMT[3],1]+CO[DMT[4],1]+CO[AK-1,1])/3;                        DIVC 500
COLAK,2):=(CO[DMT[3],2]+CO[DMT[4],2]+CO[AK-1,2])/3;AK:=AK+1;              DIVC 510
COLAK,1):=(CO[DMT[4],1]+CO[DMT[5],1]+CO[AK-2,1])/3;                        DIVC 520
COLAK,2):=(CO[DMT[4],2]+CO[DMT[5],2]+CO[AK-2,2])/3;AK:=AK+1;              DIVC 530
COLAK,1):=(CO[DMT[4],1]+CO[AK-1,1]+CO[AK-2,1])/3;                          DIVC 540
COLAK,2):=(CO[DMT[4],2]+CO[AK-1,2]+CO[AK-2,2])/3;AK:=AK+1;              DIVC 550
OUT: 'END'DIVC;                                                                DIVC 560

```


Procedure DIVD

1 Inleiding

De procedure verdeelt een gebied zoals aangegeven in fig 1 in 6 elementen, door procedure DIVB 2 maal toe te passen.



omt [1] = A
 omt [2] = B
 ⋮
 omt [8] = H

2 Gebruiksaanwijzing

DIVD(kct, ct, co, af, td, ak, ae, omt)

2.1 Globale parameters

procedure DIVB

procedure BPG

2.2 Formele parameters

integer kct

array ct

array co

array af

array td

integer ak

integer ae

array omt

Zie Dirconvexvierhoek 2.2

Zie Dirconvexvierhoek 5.2

3

Werking v.d. procedure

Het gebied wordt in 2 stukken verdeeld door de lijn AE te trekken. In A en E bepalen we de grootte (m.b.v. Bpg) en we verdelen de lijn AE in stukken die zich verhouden als de grootheden in A en E . Op de gebieden C, D, E, X, A, B , en G, H, A, X, E, F passen we $DIVB$ toe. Als omt [1] wordt bij deze gebieden resp C en G genomen.

4

Discutabel

Positionering van X kan ook gebeuren door X te leggen op het zwaartepunt van H, B en E . \rightarrow minder reken tijd.

5

Programmatekst

```

*PROCEDURE DIVD(KCT, CT, CD, AF, TD, AK, AE, OMT);          DIVD 10
  *INTEGER KCT, AK, AE;                                   DIVD 20
  *ARRAY CT(0), CD(1,1), AF(0), TD(1,1), OMT(0);        DIVD 30
  *BEGIN *REAL GA, GB, A, B, C, D;                       DIVD 40
    *ARRAY HOMT(0:6);                                     DIVD 50
    A:=CO[OMT(1),1]; B:=CO[OMT(1),2];                    DIVD 60
    C:=CO[OMT(5),1]; D:=CO[OMT(5),2];                    DIVD 70
    BPG(CO, CT, A, B, KCT, GA, 1, AF);                     DIVD 80
    BPG(CO, CT, C, D, KCT, GB, 1, AF);                     DIVD 90
    CO[AK,1]:=A+GA/(GA+GB)*(C-A);                          DIVD 100
    CO[AK,2]:=B+GB/(GA+GB)*(D-B);                          DIVD 110
    HOMT(1):=OMT(3); HOMT(2):=OMT(4); HOMT(3):=OMT(5); HOMT(4):=AK; DIVD 120
    HOMT(5):=OMT(1); HOMT(6):=OMT(2); AK:=AK+1;           DIVD 130
    DIVB(CO, TD, AK, AE, HOMT);                             DIVD 140
    HOMT(1):=OMT(7); HOMT(2):=OMT(8); HOMT(3):=OMT(1);   DIVD 150
    HOMT(5):=OMT(5); HOMT(6):=OMT(6);                     DIVD 160
    DIVB(CO, TD, AK, AE, HOMT);                             DIVD 170
  *END DIVD;                                               DIVD 180

```

Procedure DIVF1. Inleiding

De procedure F heeft 2 functies:

- Zij zoekt "scherpe" hoeken kleiner dan een waarde alfa en slaat ze in volgorde van grootte op in array SH
- Indien $Div = \underline{false}$, of indien er geen "scherpe" hoeken gevonden worden verdeelt ze het gebied in 2 subgebieden

2. Gebruiksaanwijzing

$DIVF(co, khct, hct, ahc, af, sh, ash, ak, DIV, s, ct, hct, haf, hhk)$

2.1. Globale parameters

procedure Divline A
procedure Makeline A
procedure Hkcos

2.2. Formele parameters

array co
array af
integer ak
real s
array ct
integer hct
array khct
array hct
integer ahc
array SH
integer ash
boolean DIV
array haf
array hhk

Zie Divconvexvierhoek 2.2

Zie Divconvexvierhoek 5.2

3. Toelichting

Zie 5 : Blokschema.

Belangrijke lokale parameters zijn :

integer van } geven aan hoe de lijn die bij Makeline A wordt
integer tot } gemaakt, komt te lopen.

De lijn loopt van $HCT[ahr, van] \rightarrow Hct[ahr, tot]$

boolean even geeft aan of op de lijn een even of oneven
aantal punten moet worden gegenereerd.

als even = true wordt er een even aantal punten
gegenereerd.

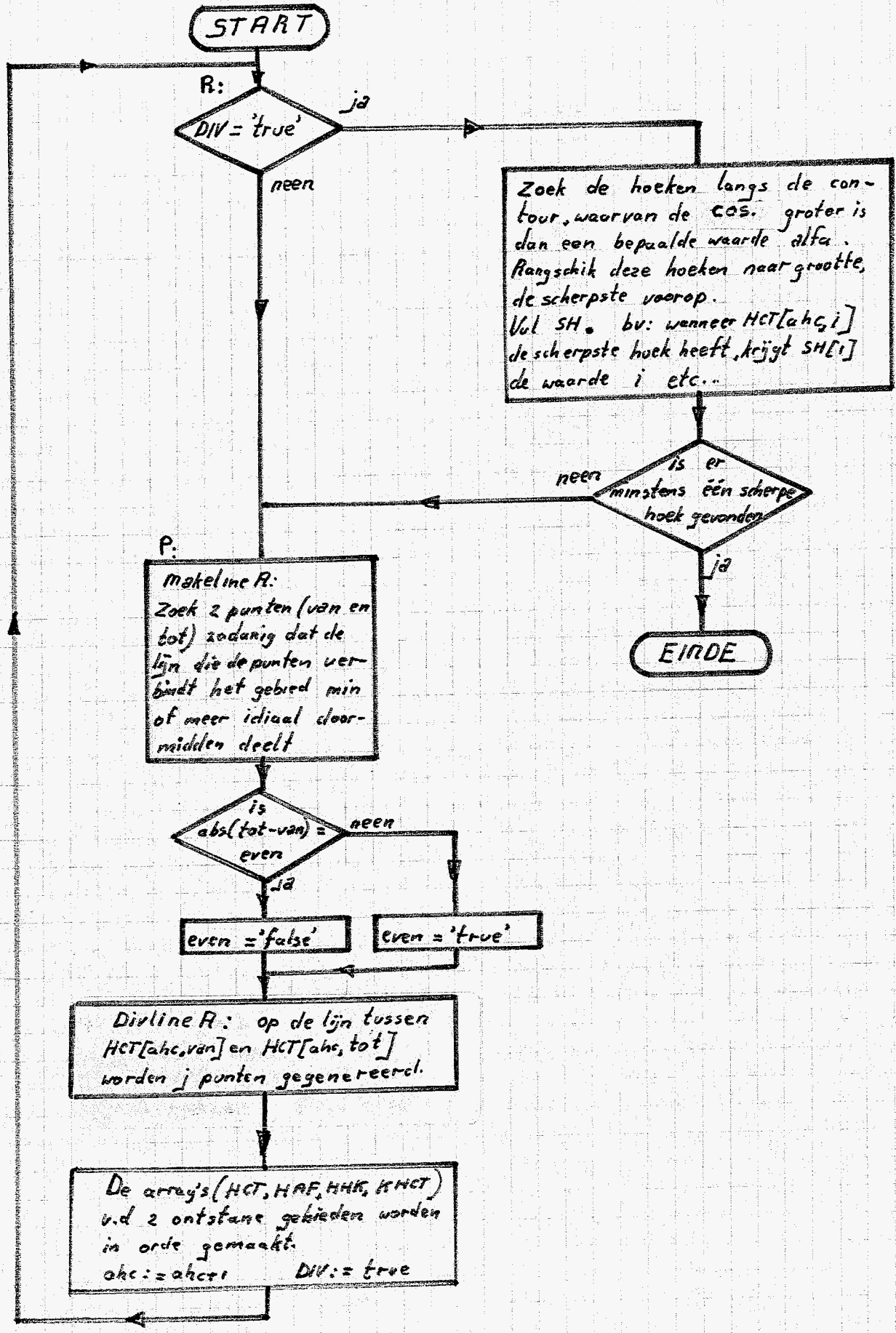
4. Discutabel

De "scherpe" hoeken op de contour moeten kleiner zijn dan
een bepaalde waarde alfa. In de gehanteerde testvoorbeelden
is $\alpha \approx 100^\circ$ ($\cos(\alpha) = -0.2$)

Wanneer we alfa te scherp maken zal het gebied in meer
subgebieden worden verdeeld \rightarrow onregelmatigere meshverdeling en
meer rekentijd.

5

Blokschema



6 Programmatekst

```

'PROCEDURE' DIVF (CO, KHCT, HCT, AHC, AF, SH, ASH, AK, DIV, S, CT, KCT, HAF, HHK);
'DIFF 1
'REAL' S; 'INTEGER' AHC, ASH, AK, KCT; 'BOOLEAN' DIV;
'DIFF 2
'ARRAY' CO[1,1], KHCT[1], HCT[1,0], AFLO], CT[0], SH[1], HAF[1,0],
'DIFF 3
    HHK[1,0];
'DIFF 4
'BEGIN' 'INTEGER' L, T, VAN, TOT, J; 'LABEL' P, R; 'ARRAY' HALO: KHCT[AHC],
'DIFF 50
    HDEK[1:5], HE[1:4];
'DIFF 51
'REAL' A, B, C, D, E, F; 'BOOLEAN' EVEN;
'DIFF 60
EVEN := 'TRUE';
'DIFF 70
'IF' DIV 'THEN' 'BEGIN' T := 1; 'FOR' L := 1 'STEP' 1 'UNTIL' KHCT[AHC] 'DO'
'DIFF 80
    'BEGIN' 'IF' HHK[AHC, L] 'GTR' = 0, 2 'THEN' 'BEGIN' SH[T] := L; ASH := T;
'DIFF 90
        HDEK[T] := HHK[AHC, L]; T := T + 1; 'END'; 'END';
'DIFF 100
'FOR' L := 1 'STEP' 1 'UNTIL' ASH = 1 'DO' 'BEGIN'
'DIFF 101
'FOR' J := L + 1 'STEP' 1 'UNTIL' ASH 'DO' 'BEGIN'
'DIFF 102
    'IF' HDEK[L] 'LSS' HDEK[J] 'THEN' 'BEGIN'
'DIFF 103
        A := SH[L]; SH[L] := SH[J]; SH[J] := A;
'DIFF 104
        A := HDEK[J]; HDEK[J] := HDEK[L]; HDEK[L] := A; 'END'; 'END'; 'END';
'DIFF 105
    'IF' T 'EQL' 1 'THEN' 'GOTO' P;
'DIFF 110
    'END' 'ELSE'
'DIFF 120
: 'BEGIN' MAKELINEA (KHCT[AHC], HCT[AHC, *], CO, VAN, TOT, HAF[AHC, *],
'DIFF 130
    HHK[AHC, *]);
'DIFF 131
'IF' (TOT = VAN) / 2 'EQL' ENTIER ((TOT - VAN) / 2) 'THEN' EVEN := 'FALSE';
'DIFF 140
DIVLINEA (KCT, CT, CO, AF, HCT[AHC, *], KHCT[AHC], AK, VAN, TOT, EVEN,
'DIFF 150
    'TRUE', S, J);
'DIFF 160
A := CO[HCT[AHC, VAN], 1];
'DIFF 170
B := CO[HCT[AHC, VAN], 2];
'DIFF 180
'FOR' L := 0 'STEP' 1 'UNTIL' J 'DO'
'DIFF 190
'BEGIN' 'IF' L 'EQL' J 'THEN' 'BEGIN' C := CO[HCT[AHC, TOT], 1];
'DIFF 200
    D := CO[HCT[AHC, TOT], 2]; 'END'
'DIFF 210
    'ELSE' 'BEGIN' C := CO[AK - 1 - L, 1];
'DIFF 220
        D := CO[AK - 1 - L, 2]; 'END';
'DIFF 230
    HALL := SQRT ((A - C) ** 2 + (B - D) ** 2); A := C; B := D; 'END';
'DIFF 240
A := CO[HCT[AHC, VAN - 1], 1]; E := CO[AK - J, 1];
'DIFF 250
B := CO[HCT[AHC, VAN - 1], 2]; F := CO[AK - J, 2];
'DIFF 260
C := CO[HCT[AHC, VAN - J], 1];
'DIFF 270
D := CO[HCT[AHC, VAN - J], 2];
'DIFF 280
HE[1] := HKCOS (A, B, C, D, E, F); A := E; B := F;
'DIFF 290
E := CO[HCT[AHC, VAN + 1], 1];
'DIFF 300
F := CO[HCT[AHC, VAN + 1], 2];
'DIFF 310
HE[2] := HKCOS (A, B, C, D, E, F);
'DIFF 320
A := CO[HCT[AHC, TOT - 1], 1]; E := CO[AK - 1, 1];
'DIFF 330
B := CO[HCT[AHC, TOT - 1], 2]; F := CO[AK - 1, 2];
'DIFF 340
C := CO[HCT[AHC, TOT - J], 1];
'DIFF 350
D := CO[HCT[AHC, TOT - J], 2];
'DIFF 360
HE[3] := HKCOS (A, B, C, D, E, F); A := E; B := F;
'DIFF 370
E := CO[HCT[AHC, TOT + 1], 1];
'DIFF 380
F := CO[HCT[AHC, TOT + 1], 2];
'DIFF 390
HE[4] := HKCOS (A, B, C, D, E, F);
'DIFF 400
'FOR' L := 0 'STEP' 1 'UNTIL' VAN = 1 'DO'
'DIFF 410
'BEGIN' HCT[AHC + 1, L] := HCT[AHC, L]; HAF[AHC + 1, L] := HAF[AHC, L];
'DIFF 420

```

```

HKK[AHC+1,LJ]:=HKK[AHC,LJ]}'END';
HAF[AHC+1,VANJ]:=HAF[0J]}'HKK[AHC+1,VANJ]:=H[1J]';
HCT[AHC+1,VANJ]:=HCT[AHC,VANJ]';
'FOR'L:=1,STEP,1,UNTIL,J'DO,
'BEGIN'HCT[AHC+1,VAN+LJ]:=AK=
      HKK[AHC+1,VAN+LJ]:=-1J}'END';
      L,HAF[AHC+1,VAN+LJ]:=HALLJ];
HCT[AHC+1,VAN+J+1J]:=HCT[AHC,TOTJ]';
HAF[AHC+1,VAN+J+1J]:=HAF[AHC,TOTJ]}'HKK[AHC+1,VAN+J+1J]:=H[4J]';
'FOR'L:=1,STEP,1,UNTIL,KHCT[AHC]-TOT'DO,
'BEGIN'HCT[AHC+1,VAN+J+1+LJ]:=HCELLAHC,TOT+LJ]';
      HAF[AHC+1,VAN+J+1+LJ]:=HAF[AHC,TOT+LJ]';
      HKK[AHC+1,VAN+J+1+LJ]:=HKK[AHC,TOT+LJ]}'END';
'FOR'L:=1,STEP,1,UNTIL,TOT-VAN'DO,
'BEGIN'HCT[AHC,LJ]:=HCT[AHC,VAN-1+LJ]';
      HAF[AHC,LJ]:=HAF[AHC,VAN-1+LJ]';
      HKK[AHC,LJ]:=HKK[AHC,VAN-1+LJ]';
      HMK[AHC,LJ]:=H[2J]}'HCT[AHC,TOT-VAN+1J]':=-HCT[AHC,TOTJ]';
      HMK[AHC,TOT-VAN+1J]':=-H[2J]}'HAF[AHC,TOT-VAN+1J]':=-HACJ]';
'FOR'L:=1,STEP,1,UNTIL,J'DO,
'BEGIN'HCT[AHC,TOT-VAN+1+LJ]:=AK=J-1+LJ;
      HAF[AHC,TOT-VAN+1+LJ]:=HALLJ-LJ]';
      HMK[AHC,TOT-VAN+1+LJ]':=-1J}'END';
      HAF[AHC,OJ]:=HAC0J];
      KHCT[AHCJ]:=VAN+J+KHCT[AHC]-TOT+1J;
      KHCT[AHC+1J]':=-TOT-VAN+1+J;
      HCT[AHC,OJ]:=HCT[AHC,KHCT[AHCJ]];
      HMK[AHC,OJ]:=HMK[AHC,KHCT[AHCJ]];
      HKK[AHC+1,OJ]:=HKK[AHC+1,KHCT[AHC+1J]];
      HCT[AHC,KHCT[AHCJ+1J]':=-HCT[AHC,1J]';
      HKK[AHC,KHCT[AHCJ+1J]':=-HKK[AHC,1J]';
      HAF[AHC,KHCT[AHCJ+1J]':=-HAF[AHC,1J]';
      HCT[AHC+1,KHCT[AHC+1J+1J]':=-HCT[AHC+1,1J]';
      HMK[AHC+1,KHCT[AHC+1J+1J]':=-HMK[AHC+1,1J]';
      HAF[AHC+1,KHCT[AHC+1J+1J]':=-HAF[AHC+1,1J]';
      AHC:=AHC+1;DIV:=TRUE;GOTO'R;
'END';
'END'DIFF';
DIFF 430
DIFF 440
DIFF 450
DIFF 460
DIFF 470
DIFF 480
DIFF 490
DIFF 500
DIFF 510
DIFF 520
DIFF 530
DIFF 540
DIFF 550
DIFF 560
DIFF 570
DIFF 580
DIFF 590
DIFF 600
DIFF 610
DIFF 620
DIFF 630
DIFF 640
DIFF 650
DIFF 660
DIFF 670
DIFF 670A
DIFF 670B
DIFF 670B
DIFF 671
DIFF 672
DIFF 673
DIFF 680
DIFF 690
DIFF 700
DIFF 710
DIFF 720
DIFF 720

```

Procedure renumct1. Inleiding

Een gebied wordt zodanig henummerd dat $ct[i]$ het knooppuntsnummer v.d. "scherpe" hoek $SH[i]$ bevat, van waaruit we het gebied in stroken gaan verdelen.

2. Gebruiksaanwijzing

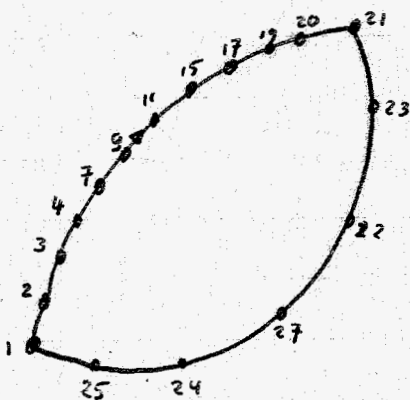
$Renumct(ct, kct, SH, HK, AF, ASH, t)$

2.1 Formele parameters

<u>array</u>	ct	}	arrays met de grenzen $[0:kct+1]$, bevatten de knooppuntsnummers, <u>cosinus v.d. hoeken</u> en <u>afstanden</u> v.d. contour die henummerd moet worden.
<u>array</u>	hk		
<u>array</u>	af		
<u>integer</u>	kct		aantal knooppunten op de contour
<u>array</u>	SH	}	zie Divconvexvierhoek 5.2
<u>integer</u>	ASH		
<u>integer</u>	t		
			geeft aan met de hoeveelste "scherpe" hoek v.d. contour we bezig zijn

3 Toelichting

voorbeeld:



Stel: $ct[i] = 11$ en $SH[i] = 6$ (dus het 6^e knooppunt op de contour, dit is 21, heeft een "scherpe" hoek)
 We moeten nu de array's ct , hk en af 5 plaatsen opschuiven om de gewenste situatie te bereiken
 dus $ct[i] := ct[i+5] = 21$ etc.....
 Natuurlijk moet ook het array SH indien $ash > t$ aangepast worden. b.v. Stel $SH[2] = 12$ (dus

het 12^e knooppunt op de contour, dit is 1, heeft een "scherpe" hoek). Dan krijgen we:
 $SH[2] := SH[2] - 5 = 7$.

4 Programmatekst.

'PROCEDURE' RENUMCT (CT, KCT, SH, HK, AF, ASH, T);	RNCT 1
'INTEGER' KCT, ASH, T; 'ARRAY' CT[0], SH[1], HK[0], AF[0];	RNCT 2
'BEGIN' 'ARRAY' A[0:KCT], B[0:KCT], C[0:KCT]; 'INTEGER' J, STAP;	RNCT 3
STAP := SH[1] - 1; 'FOR' J := 0 'STEP' 1 'UNTIL' STAP 'DO'	RNCT 4
'BEGIN' A[J] := C[J]; B[J] := HK[J]; C[J] := AF[J]; 'END';	RNCT 5
'FOR' J := 0 'STEP' 1 'UNTIL' KCT - STAP 'DO'	RNCT 6
'BEGIN' C[J] := CT[J + STAP]; HK[J] := HK[J + STAP]; AF[J] := AF[J + STAP];	RNCT 7
'END';	RNCT 8
'FOR' J := 0 'STEP' 1 'UNTIL' STAP 'DO' 'BEGIN' CT[KCT - STAP + J] := A[J];	RNCT 9
HK[KCT - STAP + J] := B[J]; AF[KCT - STAP + J] := C[J]; 'END';	RNCT 10
'FOR' J := T 'STEP' 1 'UNTIL' ASH 'DO' 'BEGIN' SH[J] := (SH[J] - STAP + KCT)	RNCT 10B
'MOD' KCT; 'IF' SH[J] EQL 0 'THEN' SH[J] := KCT; 'END';	RNCT 11
CT[KCT + 1] := CT[1]; HK[KCT + 1] := HK[1]; AF[KCT + 1] := AF[1];	RNCT 12
'END' RENUMCT;	RNCT 13

Procedure Divline A1 Inleiding

De procedure legt op een lijn tussen de knooppunten $HCT[van]$ en $HCT[tot]$ een aantal knooppunten rekeninghoudende met de knooppuntsverdeling op de oorspronkelijke contour (ct).

2 Gebruiksaanwijzing

Divline A(kct, ct, co, af, hct, khct, ak, van, tot, even, vrk, s, j).

2.1 Globale parameters

procedure BPG

2.2 Formele parameters

<u>integer</u>	kct	}	Zie	Divconvexvierhoek	2.2
<u>array</u>	ct				
<u>array</u>	co				
<u>array</u>	af				
<u>integer</u>	ak				
<u>array</u>	hct	}	Zie	Divconvexvierhoek	5.2
<u>array</u>	khct				
<u>real</u>	s				
<u>integer</u>	van	}	Zie	DIVF	3
<u>integer</u>	tot				
<u>boolean</u>	even				
<u>boolean</u>	vrk.				

krijgt de waarde true indien we een vierhoekige elementverdeling wensen.

na afloop v.d procedure bevat j het aantal gegenereerde knooppunten.

integer j

3 Werking v.d. procedure

De getallen in de beschrijving verwijzen naar het Blokschema.

We gaan als volgt te werk:

① Bepaal de grofheid in $HCT[van]$ en $HCT[tot]$ (fig 1)

We beginnen op de plaats waar de grofheid het kleinst is: g_a (g_{min}), dit punt heeft de coördinaten (A,B) . Het ander punt heeft coördinaten (C,D) .

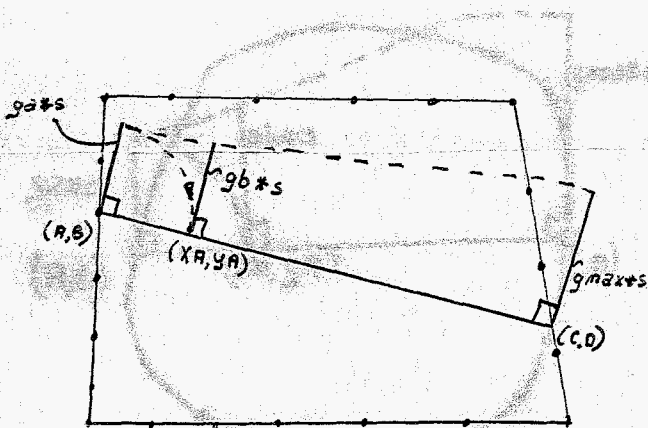


fig 1

⑤ Vanaf (A,B) passen we een lijnstuk af met lengte: $g_a * s \rightarrow (X_A, Y_A)$

⑦ Na controle v.d. ligging van dit punt (X_A, Y_A) , bepalen we de grofheid in (X_A, Y_A) : g_b .

⑧ Vanaf (A,B) passen we een lijnstuk af met lengte: $\frac{(g_a + g_b)}{2} * s \rightarrow (X, Y)$

Na controle van de ligging van punt (X, Y) , kunnen we in (X, Y) de grofheid bepalen en met dit gegeven een nieuw lijnstuk vanuit

(A, B) afzetten. We kunnen dit proces een aantal malen herhalen, totdat bv. de afstand tussen (X, Y) en voorlaatste punt (X, Y) kleiner is dan een bepaalde waarde. In de procedure herhalen we deze slag maximaal 4 maal omdat anders te veel rekentijd nodig is.

Het laatste punt (X, Y) slaan we op in $[HCO[1,1], HCO[1,2]]$.

Vanuit $(HCO[1,1], HCO[1,2])$ gaan we het gehele proces herhalen: (X_A, Y_A) afzetten, daarna (X, Y) etc... We vinden dan: $[HCO[2,1], HCO[2,2]]$.

Natuurlijk moeten we steeds de ligging v.d. gevonden punten controleren.

We doen dit door te controleren of ze niet te dicht bij (C,D) liggen of buiten de lijn $(A,B - C,D)$ vallen. ⑨

Als op deze manier tenslotte de lijn verdeeld is hebben we j punten gevonden.

We hebben dan een situatie zoals aangegeven in fig 2.

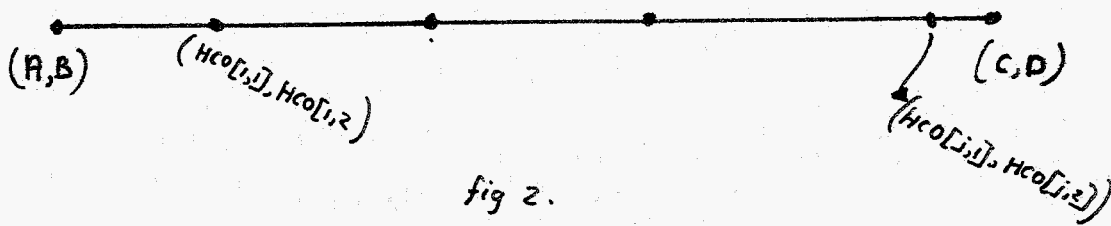


fig 2.

Als we vierhoekige elementen willen genereren zullen aan het aantal knooppunten op de lijn eisen gesteld moeten worden, b.v. even of oneven. Wanneer nu het aantal knooppunten op de lijn niet klopt, wordt het laatst gegenereerde punt weggehaald.

Indien er 0 punten gegenereerd zijn en we wensen een oneven aantal knooppunten (22), dan moet er een extra punt gegenereerd worden.

Het zal duidelijk zijn dat meestal de afstand tussen het laatst gegenereerde punt en (C,D) niet voldoet.

Door nu vanuit C,D in 2 stappen een lijnstuk te genereren (17) kunnen we een redelijke benadering v.d. elementsribbe grenzend aan (C,D) verkrijgen (fig 3)

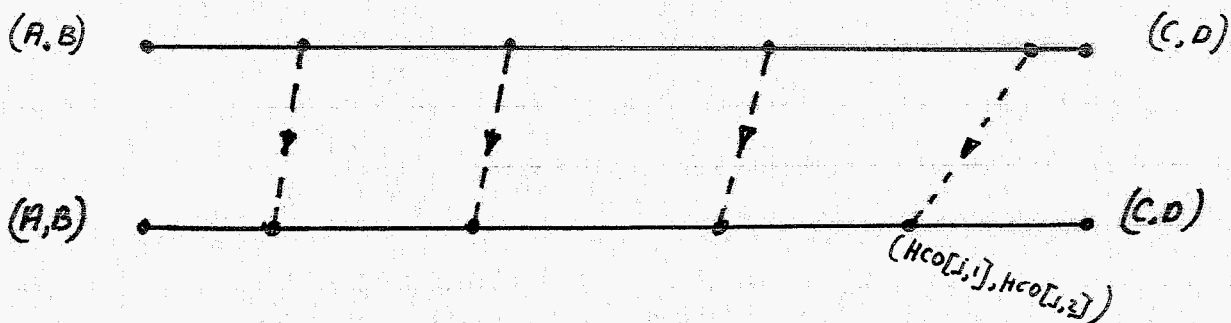


fig. 3.

De overige $j-1$ knooppunten kunnen nu gevonden worden door het lijnstuk $(A,B - HCO[j,1], HCO[j,2])$ in stukken te verdelen die zich verhouden als de afstanden v.d. oorspronkelijke punten.

opm. Bij de bepaling v.d. x en y -coördinaten wordt gebruik gemaakt van $\cos a$ en

$$\sin a, \quad \cos a = \frac{(C-A) \times S.}{\text{afstand}\{(A,B)-(C,D)\}}$$

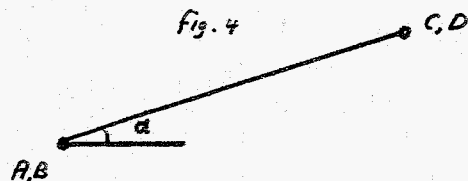
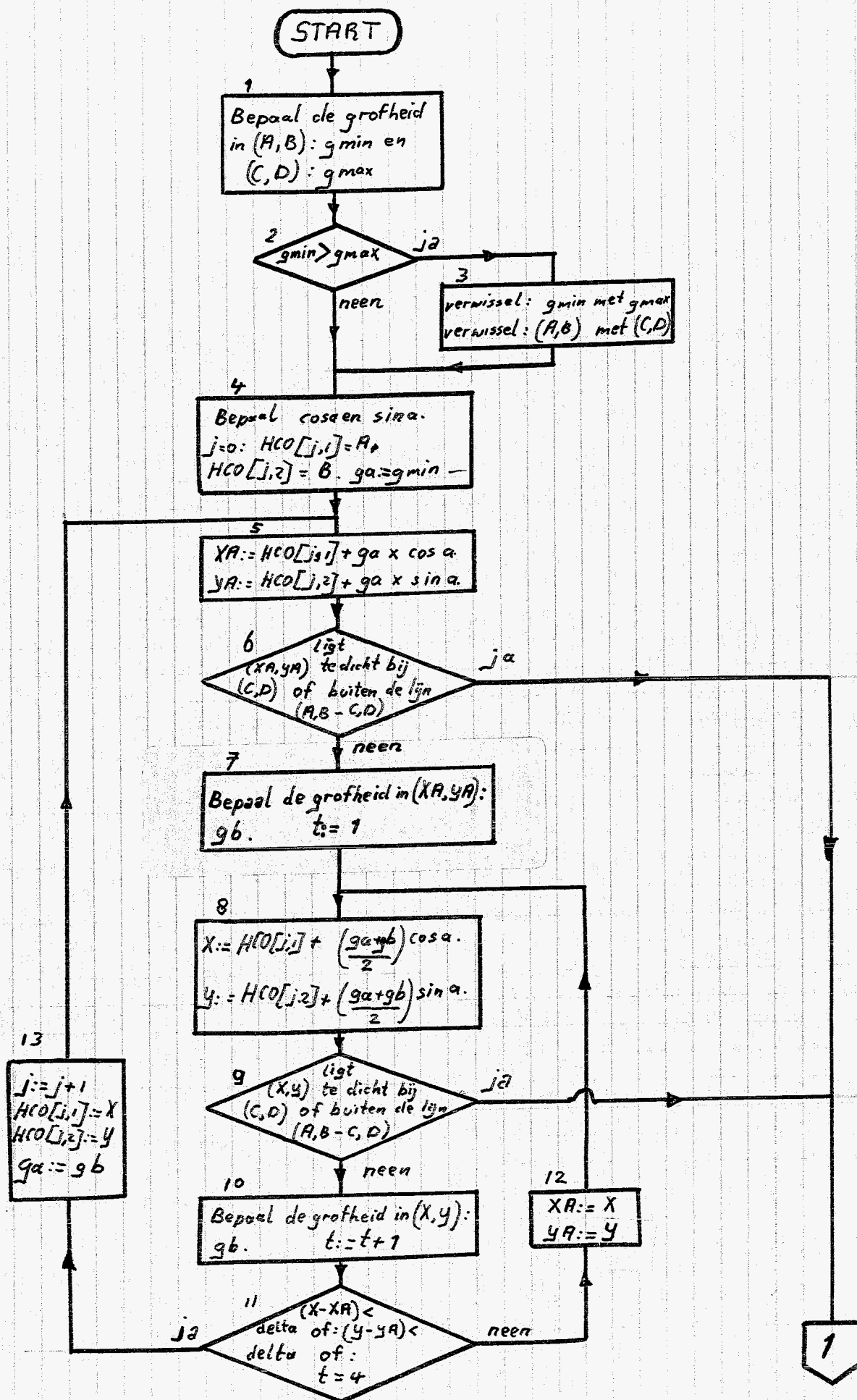
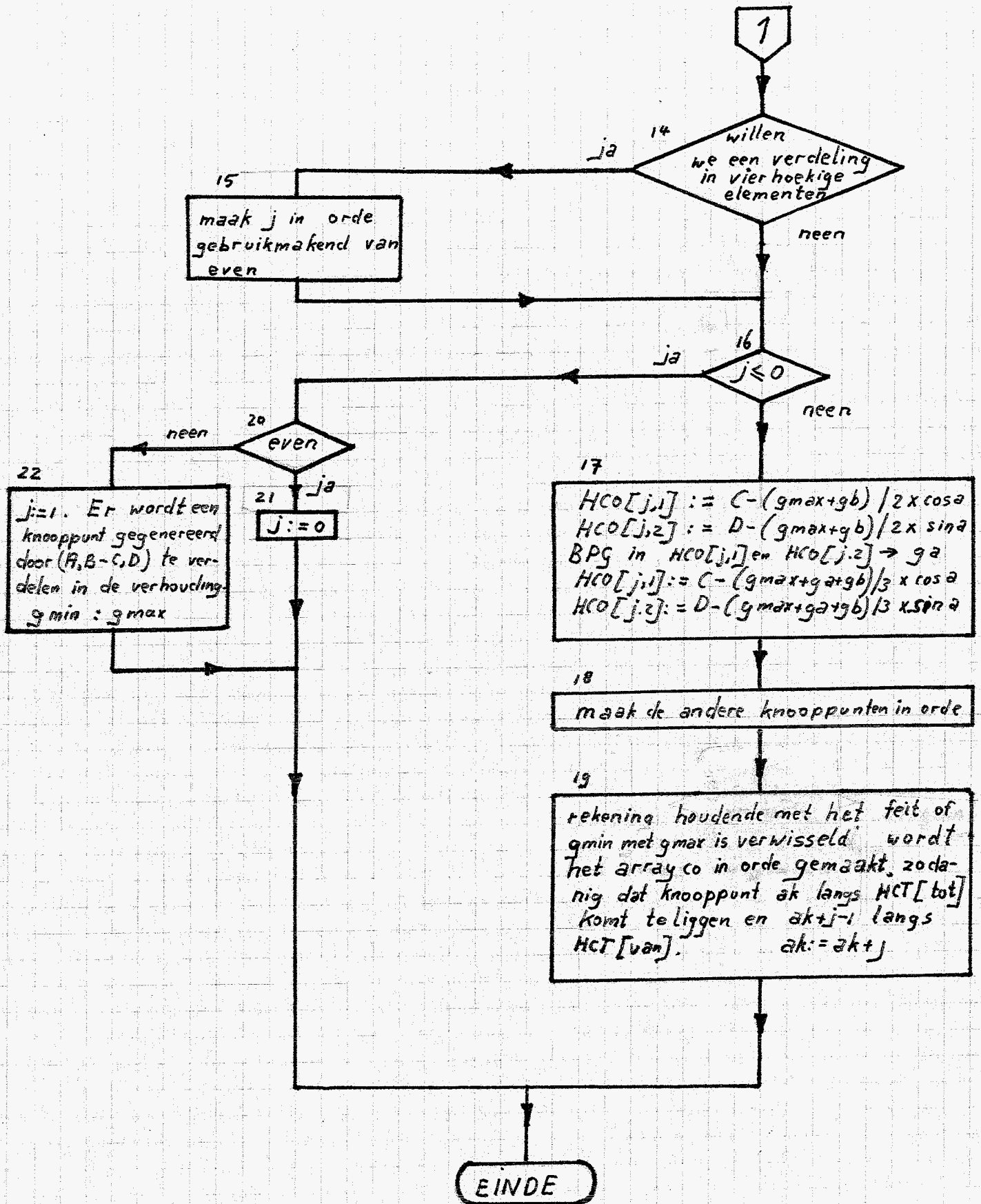


fig. 4

4

Blokschema





5

Discutabel

Het iteratief proces bij het bepalen v.d. knooppunten kost, omdat bij elke stap de grofheid moet worden bepaald veel rekentijd.

Sterk te overwegen valt daarom deze stappen weg te laten.

Voor elk knooppunt wordt dan slechts éénmaal de grofheid bepaald.

De onnauwkeurigheid die we hierdoor krijgen zal, omdat de knooppunten toch nog herplaatst moeten worden, erg meevallen.

```

PROCEDURE DIVLINEA(KCT,CT,CO,AF,HCT,KHCT,AK,VAN,TOT,EVEN,VRK,S,J);
  INTEGER KCT,AK,VAN,TOT,J,KHCT; REAL S; BOOLEAN VRK,EVEN;
  ARRAY CT[0],CO[1,1],AF[0],HCT[0];
  BEGIN REAL A,B,C,D,GMAX,GMIN,GA,GB,AFST,DELTA,ETHA,COXA,SINA,XA,YA,
    Y,X,K,L;
    INTEGER T; LABEL V,W,R,Q; ARRAY HCO[0:KHCT,1:2];
    A:=CO[HCT[VAN],1];B:=CO[HCT[VAN],2];C:=CO[HCT[TOT],1];
    D:=CO[HCT[TOT],2];
    BPG(CO,CT,A,B,KCT,GMIN,S,AF);
    BPG(CO,CT,C,D,KCT,GMAX,S,AF);L:=0;
    IF GMIN GTR GMAX THEN BEGIN L:=GMAX;GMAX:=GMIN;GMIN:=L;K:=A;
      A:=C;C:=K;K:=B;B:=D;D:=K;END;
    AFST:=SQRT((A-C)**2+(B-D)**2);DELTA:=(0.1*S*GMIN)**2;ETHA:=0.2*S;
    COXA:=(C-A)*S/AFST;SINA:=(D-B)*S/AFST;
    J:=0;HCO[J,1]:=A;HCO[J,2]:=B;GA:=GMIN;
    V: XA:=HCO[J,1]+GA*COXA;YA:=HCO[J,2]+GA*SINA;
    IF (ABS(XA-C)'LSS'ETHA'AND'ABS(YA-D)'LSS'ETHA)'OR'
      (SIGN(C-XA)'EQL'SIGN(A-XA)'AND'SIGN(D-YA)'EQL'SIGN(B-YA))
      THEN GOTO R;
    T:=1;BPG(CO,CT,XA,YA,KCT,GB,S,AF);
    N: X:=HCO[J,1]+(GA+GB)/2*COXA;Y:=HCO[J,2]+(GA+GB)/2*SINA;
    IF (ABS(X-C)'LSS'ETHA'AND'ABS(Y-D)'LSS'ETHA)'OR'
      (SIGN(C-X)'EQL'SIGN(A-X)'AND'SIGN(D-Y)'EQL'SIGN(B-Y))
      THEN GOTO R;
    T:=T+1;BPG(CO,CT,X,Y,KCT,GB,S,AF);
    IF ((C-X)**2+(D-Y)**2)'LSS'DELTA'OR'T'EQL'4'THEN
      BEGIN J:=J+1;HCO[J,1]:=X;HCO[J,2]:=Y;GA:=GB;GOTO V;END;
    ELSE BEGIN XA:=X;YA:=Y;GOTO W;END;
    R: IF VRK THEN
      BEGIN IF EVEN THEN BEGIN IF ENTIER(J/2)'NEQ'J/2 THEN
          J:=J-1;END;
        ELSE BEGIN IF ENTIER(J/2)'EQL'J/2 THEN
          J:=J-1;END;
        END;
      IF J'LEQ'1 THEN
        BEGIN IF EVEN THEN J:=0;
          ELSE BEGIN CO[AK,1]:=A+GMIN/(GMIN+GMAX)*(C-A);
            CO[AK,2]:=B+GMIN/(GMIN+GMAX)*(D-B);
            J:=1;AK:=AK+1;
            END;GOTO Q;
          END;
      X:=HCO[J,1];Y:=HCO[J,2];
      HCO[J,1]:=C-(GMAX+GB)/2*COXA;
      HCO[J,2]:=D-(GMAX+GB)/2*SINA;
      BPG(CO,CT,HCO[J,1],HCO[J,2],KCT,GA,S,AF);
      HCO[J,1]:=C-(GMAX+GB+GA)/3*COXA;
      HCO[J,2]:=D-(GMAX+GB+GA)/3*SINA;
      IF ABS(COXA)'GTR'ABS(SINA) THEN K:=(X-A)/(HCO[J,1]-A);
      ELSE K:=(Y-B)/(HCO[J,2]-B);
      FOR T:=J-1 STEP -1 UNTIL 1 DO
        BEGIN XA:=HCO[T,1];YA:=HCO[T,2];
          HCO[T,1]:=HCO[T+1,1]+(X-XA)/K;
          HCO[T,2]:=HCO[T+1,2]+(Y-YA)/K;X:=XA;Y:=YA;
        END;
      IF L'EQL'0 THEN
        BEGIN FOR T:=J STEP -1 UNTIL 1 DO
          BEGIN CO[AK+J-T,1]:=HCO[T,1];CO[AK+J-T,2]:=HCO[T,2];
            END;
          END;ELSE
        BEGIN FOR T:=1 STEP 1 UNTIL J DO
          BEGIN CO[AK+T-1,1]:=HCO[T,1];CO[AK+T-1,2]:=HCO[T,2];
            END;
          END;
      AK:=AK+J;
    Q: END DIVLINEA;

```

DLA 10
DLA 20
DLA 30
DLA 40
DLA 50
DLA 60
DLA 70
DLA 80
DLA 90
DLA 100
DLA 110
DLA 120
DLA 130
DLA 140
DLA 150
DLA 150
DLA 170
DLA 180
DLA 190
DLA 200
DLA 210
DLA 220
DLA 230
DLA 240
DLA 250
DLA 260
DLA 270
DLA 280
DLA 290
DLA 300
DLA 310
DLA 320
DLA 330
DLA 340
DLA 350
DLA 360
DLA 370
DLA 380
DLA 390
DLA 400
DLA 410
DLA 420
DLA 440
DLA 450
DLA 451
DLA 452
DLA 452
DLA 490
DLA 500
DLA 510
DLA 520
DLA 530
DLA 540
DLA 560
DLA 570
DLA 580
DLA 590
DLA 600
DLA 610
DLA 620
DLA 630
DLA 640
DLA 650

Procedure Hkcos1 Inleiding

De procedure bepaalt de cosinus van een hoek α .

A, B, C, D, E, F zijn knooppuntscordinaten v.d. s bij de hoek behorende knooppunten.

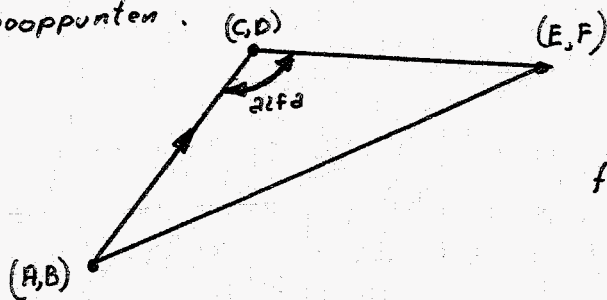


fig. 1

De bepaling van de cosinus gebeurt m.b.v. de cos-regel.

2 Gebruiks aanwijzing

real procedure Hkcos (A, B, C, D, E, F)

2.1Formele parameters

<u>real</u>	A
<u>real</u>	B
<u>real</u>	C
<u>real</u>	D
<u>real</u>	E
<u>real</u>	F

Zie fig 1

3Programmatekst

```

*REAL**PROCEDURE HKCOS(A,B,C,D,E,F);
  *REAL A,B,C,D,E,F;
  *BEGIN *REAL K,M,KM;
    K:=(A-C)**2+(D-B)**2;
    M:=(E-C)**2+(F-D)**2;
    KM:=2*SQRT(K)*SQRT(M);
    HKCOS:=(K+M-(E-A)**2-(F-B)**2)/KM;
  *END *HKCOS;

```

HKCOS 1
 HKCOS 2
 HKCOS
 HKCOS
 HKCOS
 HKCOS
 HKCOS

Procedure Contreline

1 Inleiding

De procedure controleert of de cosinus v.d. hoeken die de lijn j maakt met de contour niet groter is dan een bepaalde waarde α .
 Indien de lijn niet voldoet krijgt contreline de waarde true

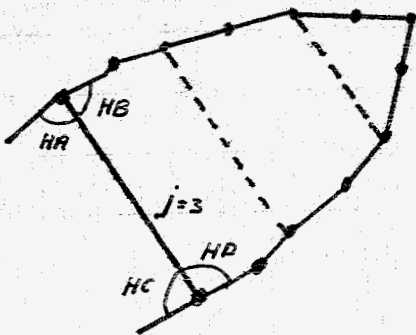
2 Gebruiksaanwijzing

Boolean procedure Contreline($co, kct, ct, af, \alpha, j$)

2.1 Formele parameters

- array co Zie Driconvexvierhoek 2.2
- integer kct aantal knooppunten op de contour van het gebied, waarin we de lijn controleren.
- array ct array met de grenzen $[0:kct+1]$ bevat de knooppuntsnummers v.d. contour.
- array af array met de grenzen $[0:kct+1]$ bevat de afstanden tussen de knooppunten v.d. contour.
- real α max. toelaatbare cosinus van de hoek die de lijn met de contour maakt.
- integer j geeft aan welke lijn gecontroleerd moet worden.
 $j-1$ is het aantal reeds afgesneden straken.

3. Toelichting



De procedure berekent m.b.v. de cos-regel de 4 cosinussen: HA, HB, HC, HD .
 Indien een of meer der cosinussen groter is dan α , wordt de lijn niet geaccepteerd.

4. Programmatekst

```

'BOOLEAN' 'PROCEDURE' 'CONTRLINE'(CO,KCT,CT,AF,ALFA,J);          CLINE 10
'REAL' 'ALFA'; 'INTEGER' 'KCT,J'; 'ARRAY' 'CO[1,1],CT[0],AF[0];  CLINE 20
'BEGIN' 'REAL' 'A,B,C,D,E,F,G,H,I,K,L,M,P,Q,R,S,T,U,V,W,X,WU,WV,WW,WX,  CLINE 30
      WP,HA,HB,HC,HD;
      A:=CO[CT[2*J],1];C:=CO[CT[2*J+1],1];E:=CO[CT[2*J+2],1];    CLINE 40
      B:=CO[CT[2*J],2];D:=CO[CT[2*J+1],2];F:=CO[CT[2*J+2],2];    CLINE 60
      G:=CO[CT[KCT+2-2*J],1];I:=CO[CT[KCT+1-2*J],1];L:=CO[CT[KCT-2*J],1];CLINE 70
      H:=CO[CT[KCT+2-2*J],2];K:=CO[CT[KCT+1-2*J],2];M:=CO[CT[KCT-2*J],2];CLINE 80
      P:=(C-I)**2+(K-D)**2;Q:=(C-G)**2+(H-D)**2;R:=(A-I)**2+(B-K)**2;  CLINE 90
      S:=(C-L)**2+(M-D)**2;T:=(E-I)**2+(F-K)**2;                  CLINE100
      WU:=AF[ 2*J ];WV:=AF[ 2*J+1 ];                              CLINE110
      WW:=AF[ KCT-2*J+1 ];WX:=AF[ KCT-2*J ];                      CLINE120
      WP:=SQRT(P);U:=WU**2;V:=WV**2;W:=WW**2;X:=WX**2;          CLINE130
      HA:=(P+U+R)/(2*WU*WP);                                       CLINE140
      HB:=(P+V+T)/(2*WV*WP);                                       CLINE150
      HC:=(P+X+S)/(2*WX*WP);                                       CLINE160
      HD:=(P+W+Q)/(2*WW*WP);                                       CLINE170
      'IF'(HA'GTR'ALFA)'OR'(HB'GTR'ALFA)'OR'(HC'GTR'ALFA)'OR'    CLINE180
      (HD'GTR'ALFA)                                               CLINE181
      'THEN'CONTRLINE:='TRUE' 'ELSE'CONTRLINE:='FALSE';        CLINE190
'END'CONTRLINE;                                                  CLINE200

```

Procedure Makeline A

1. Inleiding

De procedure zoekt een lijn van $HCT[van]$ naar $HCT[tot]$, zodanig dat het gebied min of meer ideaal in tweeën wordt gedeeld.

2. Gebruiksaanwijzing

Procedure MakelineA($kct, ct, co, van, tot, af, hk$)

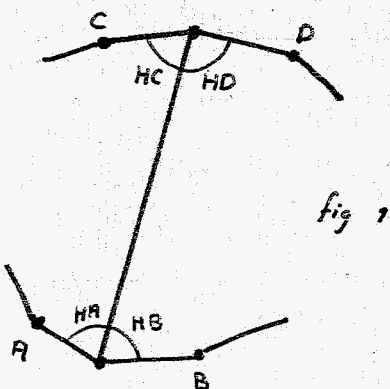
2.1 Formele parameters

<u>integer</u> kct	aantal knooppunten op de contour v/h gebied waarin we een lijn willen trekken.
<u>array</u> ct	} array's met de grenzen $[0:kct+1]$, bevatten resp. de knooppuntsnummers, afstanden en cosinus v.d. hoeken v.d. knooppunten op de contour.
<u>array</u> af	
<u>array</u> hk	
<u>array</u> co	zie Divconvexvierhoek 2.2
<u>integer</u> van	} zie DIVF 3
<u>integer</u> tot	

3. Toelichting

We verdelen het gebied zodanig dat we 2 gebieden krijgen met elk het zelfde aantal knooppunten. In totaal kunnen er dan $\frac{kct}{2}$ lijnen worden getrokken.

Van elke mogelijke lijn bepalen we de cosinus v.d. hoeken met de contour:



HA, HB, HC en HD en controleren tevens de hoeken: $A, B, C, D \dots$ (fig 1)

Wanneer deze hoeken A, B, C, D te scherp zijn kunnen we de lijn beter niet accepteren, we voorkomen dan een situatie zoals aangegeven in fig. 2. Het "smalste" gebied zou dan ongunstige elementen opleveren bij verdere verdeling.

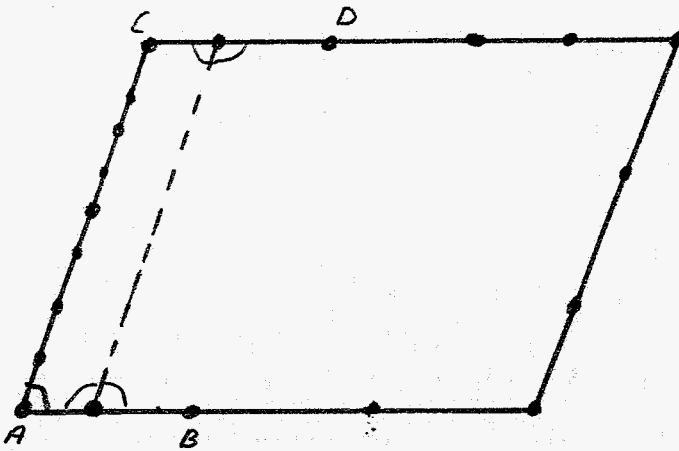


fig 2.

De meest acceptabele lijn voor ons is diegene die met de contour zoveel mogelijk, hoeken van 60° of 120° maakt en waarvan de hoeken A, B, C en D stomper zijn dan een bepaalde waarde. In de procedure hebben we geeist dat de cosinus v.d hoeken kleiner moet zijn dan $-0,5$.

Indien geen lijn kan worden gevonden waarvan de cosinussen v.d hoeken A, B, C, D kleiner zijn dan $-0,5$ kijken we alleen naar de eerste voorwaarde.

4 Discutabel

We hadden ook kunnen eisen dat de lijn met de contour zoveel mogelijk hoeken van 90° moet maken. De verwachting is dan dat de elementen een iets minder ideale vorm krijgen.

We hebben geeist dat beide gebieden evenveel knooppunten krijgen. Laten we deze eis vallen dan stijgt het aantal mogelijke lijnen natuurlijk sterk.

Er zullen dan best een aantal lijnen zijn die het gebied idealer verdelen.

De procedure zal daardoor echter veel te gecompliceerd worden en veel te veel rekentijd vergen. Bovendien is niet goed duidelijk is wat we onder ideaal moeten verstaan.

5. Programmatekst

```

'PROCEDURE' MAKELINEA(KCT, CT, CD, VAN, TOT, AF, HK);
    'INTEGER' KCT, VAN, TOT;
    'ARRAY' CT[0], CO[1, 1], AF[0], HK[0];
'BEGIN' 'REAL' A, B, C, D, E, F, G, H, I, K, L, M, AA, AB, AC, AD, AE, AL, AG, AH, AI, HMIN,
    HM, HA; 'INTEGER' J, T, V;
    T:=KCT/2; HMIN:=100; HM:=100; VAN:=0;
    E:=CO[CT[0], 1]; F:=CO[CT[0], 2]; A:=CO[CT[1], 1]; B:=CO[CT[1], 2];
    I:=CO[CT[T], 1]; K:=CO[CT[T], 2]; G:=CO[CT[T+1], 1]; H:=CO[CT[T+1], 2];
    AL:=AF[0]**2; AH:=AF[T]**2;
'FOR' J:=1 'STEP' 1 'UNTIL' T 'DO'
'BEGIN' C:=CO[CT[J+1], 1]; D:=CO[CT[J+1], 2];
    L:=CO[CT[T+J+1], 1]; M:=CO[CT[T+J+1], 2];
    AG:=AF[J]; AI:=AF[T+J];
    AA:=(G-A)**2+(H-B)**2; AB:=(G-E)**2+(H-F)**2;
    AC:=(G-C)**2+(H-D)**2; AD:=(L-A)**2+(M-B)**2;
    AE:=(I-A)**2+(K-B)**2;
    HA:=ABS((AA+AL-AB)**2/(AL*AA)-1)+
        ABS((AA+AG-AC)**2/(AG*AA)-1)+
        ABS((AA+AH-AE)**2/(AH*AA)-1)+
        ABS((AA+AI-AD)**2/(AI*AA)-1);
'IF' HA 'LSS' HMIN 'AND' HK[J-1] 'LSS' -0.5 'AND' HK[J+1] 'LSS' -0.5
    'AND' HK[T+J-1] 'LSS' -0.5 'AND' HK[T+J+1] 'LSS' -0.5 'THEN'
'BEGIN' HMIN:=HA; VAN:=J; TOT:=T+J; 'END';
    E:=A; F:=B; A:=C; B:=D; I:=G; K:=H; G:=L; H:=M;
    AL:=AG; AH:=AI;
'IF' HA 'LSS' HM 'THEN' 'BEGIN' V:=J; HM:=HA 'END';
'END';
'IF' VAN 'EQL' 0 'THEN' 'BEGIN' VAN:=V; TOT:=T+V 'END';
'END' MAKELINE A;

```

MKLA 10
 MKLA 20
 MKLA 30
 MKLA 40
 MKLA 50
 MKLA 60
 MKLA 70
 MKLA 80
 MKLA 90
 MKLA 100
 MKLA 110
 MKLA 120
 MKLA 130
 MKLA 140
 MKLA 150
 MKLA 160
 MKLA 170
 MKLA 180
 MKLA 190
 MKLA 200
 MKLA 210
 MKLA 211
 MKLA 212
 MKLA 220
 MKLA 230
 MKLA 231
 MKLA 240
 MKLA 241
 MKLA 250

Procedure Bpg

1 Inleiding

Op basis v.d integraal formule van Cauchy uit de complexe functie theori, bepaalt deze procedure de grofheid in een punt (X,Y) , als de knooppuntenverdeling op de contour gegeven is. De procedure is ook van toepassing op een concaaf gebied, ze is dan echter veel minder nauwkeurig.

2 Gebruiksaanwijzing.

$BPG(\text{knooppunt}, \text{contour}, x, y, knpc, g, s, p)$;

2.1 Formele parameters

<u>array</u>	knooppunt	array met de grenzen $(1:n, 1:2)$ bevat o.a. de coördinaten v.d knooppunten op de contour.
<u>array</u>	contour	array met de grenzen $(0:knpc)$, bevat de knooppuntsnummers v.d knooppunten op de contour.
<u>integer</u>	knpc	geeft het aantal knooppunten op de contour aan.
<u>real</u>	x	de x-coördinaat v.h. punt waarin we de grofheid willen bepalen
<u>real</u>	y	de y-coördinaat v.h. punt waarin we de grofheid willen bepalen
<u>array</u>	P	array met de grenzen $[0:knpc+1]$, bevat de afstanden tussen de knooppunten op de contour.
<u>real</u>	g	de geronden grofheid
<u>real</u>	s	de kortste afstand uit het array P.

3 Werking v.d procedure

Zie ook 4 : Blokschema.

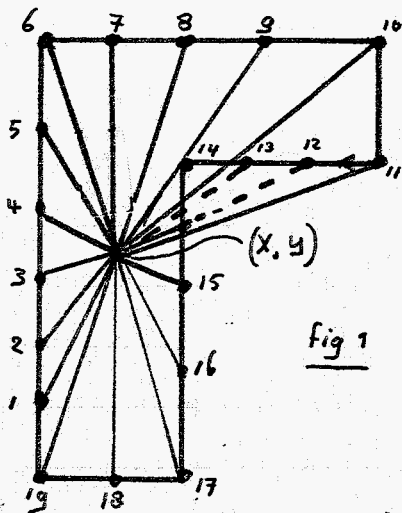


fig 1

Geg: de contour met de knooppunten.
Elk driehoekje door (X, Y) met de contour gemaakt wordt in de procedure bekeken. (zie fig 1).

Als voorbeeld bekijken we nader het driehoekje: $(X, Y - 2 = 3)$ zie fig 2

De letters in de tekening corresponderen met de in de procedure gehanteerde lokale parameters.

(C, D) is het j^e knooppunt v.d contour.

Na bepaling v.d zijden v.d driehoeken en kwadraten van deze zijden bepalen we m.b.v. de determinantregel het opp. v.d driehoek

$$Opp = (A \times Y) + (X \times D) + (C \times B) - (X \times B) - (C \times Y) - (A \times D).$$

Indien dit opp > 0 is (3), betekent dit dat

we de zijden $(C, D - A, B)$ in feite vanuit (X, Y)

niet "zien". Een voorbeeld hiervan is de zijde (12-13). De invloed van de grofheid van zo'n lijnstuk op de grofheid in (X, Y) is voor ons niet interessant.

We laten zo'n driehoek verder buiten beschouwing. Zijde 10-11 die we ook niet "zien" maakt met (X, Y) een driehoek met een negatief opp. Controles om een dergelijke zijden niet mee te laten doen zijn niet ingebouwd. Meestal ligt zo'n zijde echter ver weg zodat de invloed op de grofheid in (X, Y) niet al te groot zal zijn.

Indien het opp ≈ 0 is (4), kunnen zich de volgende 3 situaties voordoen: zie fig 3, 4 en 5

- a) (X, Y) ligt in het verlengde van $(A, B - C, D)$. Dit is het geval als $P^2[j] < \text{abs}(l_1^2 - l_2^2)$ (5). In dit geval laten we de zijde geen invloed op de grofheid in (X, Y) hebben. (fig 3)

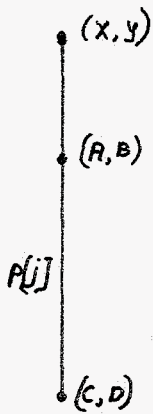


fig. 3

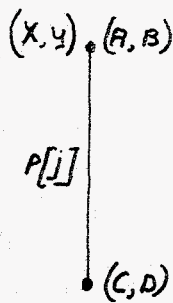


fig. 4

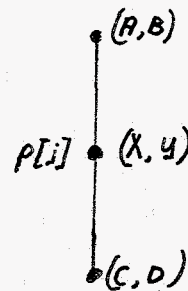


fig. 5

b) (x, y) ligt op of vlakbij (A, B) . (6). : (fig 4)

We nemen dan als grofheid in (x, y) :
$$\frac{P[j] + P[j+1]}{2 \times s}$$

c) (x, y) ligt tussen de punten (A, B) en (C, D) (fig 5).

Als grofheid nemen we de grofheid v.h. lijnstuk $(A, B) - (C, D)$:
$$\frac{P[j]}{s}$$

In het geval dat $0_{pp} < 0$ heeft lijnstuk $(A, B) - (C, D)$ invloed op de grofheid in (x, y) , die we tot uiting brengen door $P[j]$ te vermenigvuldigen met een factor $\alpha = \frac{\alpha}{\text{afstand}(x, y) \text{ tot lijnstuk: } (A, B) - (C, D)}$

α wordt bepaald met de cos. regel.

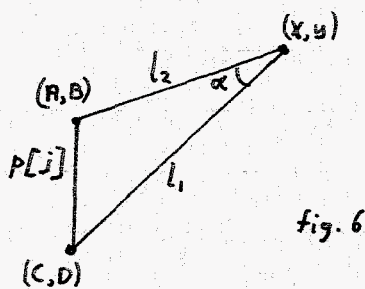


fig. 6

Indien $P[j]^2 < \text{abs}(l_1^2 - l_2^2)$ (10) (fig 6),

brengen we de afstand van (x, y) tot $(A, B) - (C, D)$

in rekening door: $(l_1 + l_2) / 2$.

En anders (fig 7) door de werkelijke afstand

tot het lijnstuk te nemen: $(2 \times 0_{pp}) / P[j]$ (11).

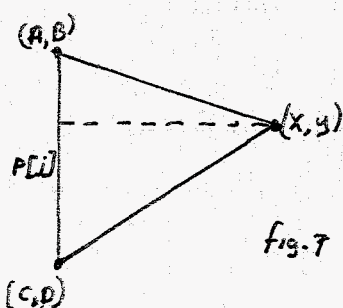
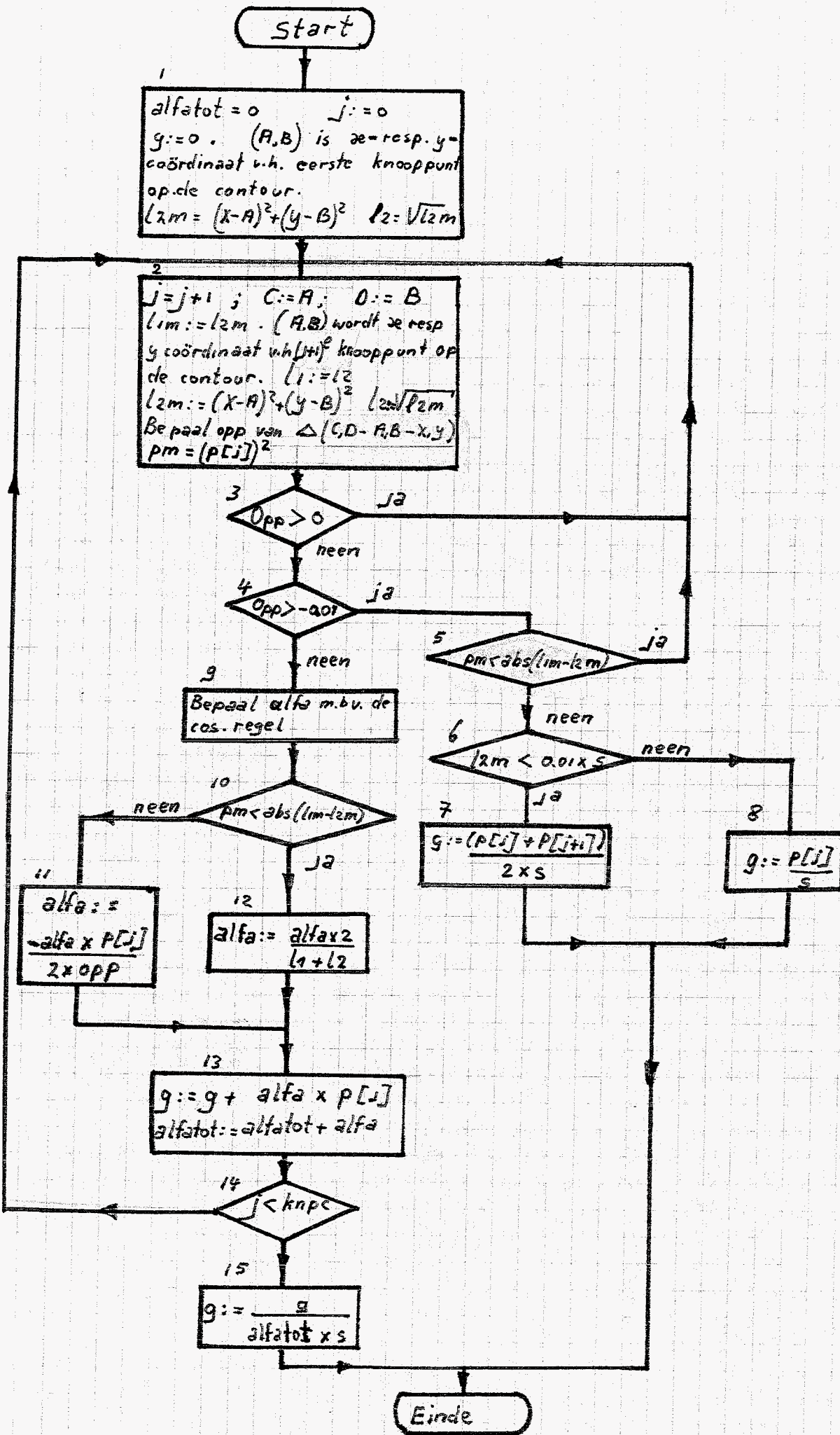


fig. 7

De uiteindelijke grofheid in (x, y) vinden we door sommatie v.d. grofheden die we in elk driehoekje gevonden hebben en deze som te delen door de som v.d. factoren α .



5. Programmatekst

```

*PROCEDURE BPG(KNOOPPUNT, CONTOUR, X, Y, KNPC, G, S, P);      BPG  1
*REAL G, X, Y, S; *INTEGER KNPC; *ARRAY KNOOPPUNT[1,1], CONTOUR[0], P[0];  BPG  2
*BEGIN *REAL A, B, ALFA, L1, L2, L1M, L2M, PM, OPP, ALFATOT, C, D;      BPG  3
*INTEGER J; *LABEL OUT, VERVOLG;                                     BPG  4
  ALFATOT:=0; G:=0; A:=KNOOPPUNT[CONTOUR[1],1]; B:=KNOOPPUNT[CONTOUR
  [1],2]; L2M:=(X-A)**2+(Y-B)**2; L2:=SQRT(L2M);                    BPG  5
  *FOR J:=1 *STEP 1 *UNTIL KNPC *DO *                                BPG  7
VERVOLG: *BEGIN C:=A; D:=B;                                         BPG  8
  L1M:=L2M; A:=KNOOPPUNT[CONTOUR[J+1],1]; L1:=L2;                 BPG  9
  B:=KNOOPPUNT[CONTOUR[J+1],2];                                     BPG 10
  L2M:=(X-A)**2+(Y-B)**2; L2:=SQRT(L2M); PM:=P[J]**2;            BPG 11
  OPP:=A*Y+X*D+C*B-X*B-C*Y-A*D;                                    BPG 12
  *IF OPP *GTR 0 *THEN *BEGIN J:=J+1; *GOTO VERVOLG *END;         BPG 13
  *IF OPP *GTR - 0.01 *THEN *BEGIN *                                BPG 14
  *IF PM *LSS *ABS(L1M-L2M) *THEN *BEGIN J:=J+1; *GOTO VERVOLG *END *
  *ELSE *BEGIN *IF L2M *LSS 0.01*S *THEN G:=(P[J]+P[J+1])/(2*S)   BPG 16
  *ELSE G:=P[J]/S; *GOTO OUT; *END; *END; *                          BPG 16A
  ALFA:=ARCCOS((L1M+L2M-PM)/(2*L1*L2));                             BPG 17
  *IF PM *LSS *ABS(L1M-L2M) *THEN *                                BPG 18
  ALFA:=ALFA*2/(L1+L2)                                             BPG 19
  *ELSE ALFA:=-ALFA*P[J]/(2*OPP);                                    BPG 20
  G:=G+ALFA*P[J]; ALFATOT:=ALFATOT+ALFA;                           BPG 21
*END; *                                                                BPG 22
  G:=G/(ALFATOT*S);                                               BPG 23
OUT: *END *BEPAAALGROFHEID;                                         BPG 24

```

Procedure Make driehoek1 Inleiding

Uitgaande van de verdeling in vierhoeken kunnen we een verdeling in driehoeken verkrijgen, door in de vierhoeken een diagonaal te trekken, zodanig dat de 2 ontstane driehoeken zoveel mogelijk gelijkzijdig zijn.

2 Gebruiksaanwijzing

Procedure Makedriehoek (TD, TOD, co, ae);

2.1 Formele parameters:

array TD

array co

array TOD

integer ae

} Zie Divconvexvierhoek.(2.2)

array met de grenzen [1:p, 1:3] bevat na afloop v.d procedure de knooppuntsnummers v.d ontstane driehoekige elementen

Bevat bij het begin v.d procedure het aantal vierhoekige elementen en na afloop het aantal driehoekige elementen.

3 Discutabel

In de Bijlagen zijn enkele voorbeelden opgenomen van een verdeling in driehoeken.

Een procedure die direct driehoeken genereert dus niet via de weg van vierkanten zal op een snellere wijze betere resultaten kunnen opleveren. Een dergelijke procedure zal in het nog te verschijnen rapport ter sprake komen.

aantal knooppunten op de omtrek: 32

aantal gegenereerde knooppunten: 63

aantal gegenereerde elementen : 70

benodigde rekentijd : 33 sec

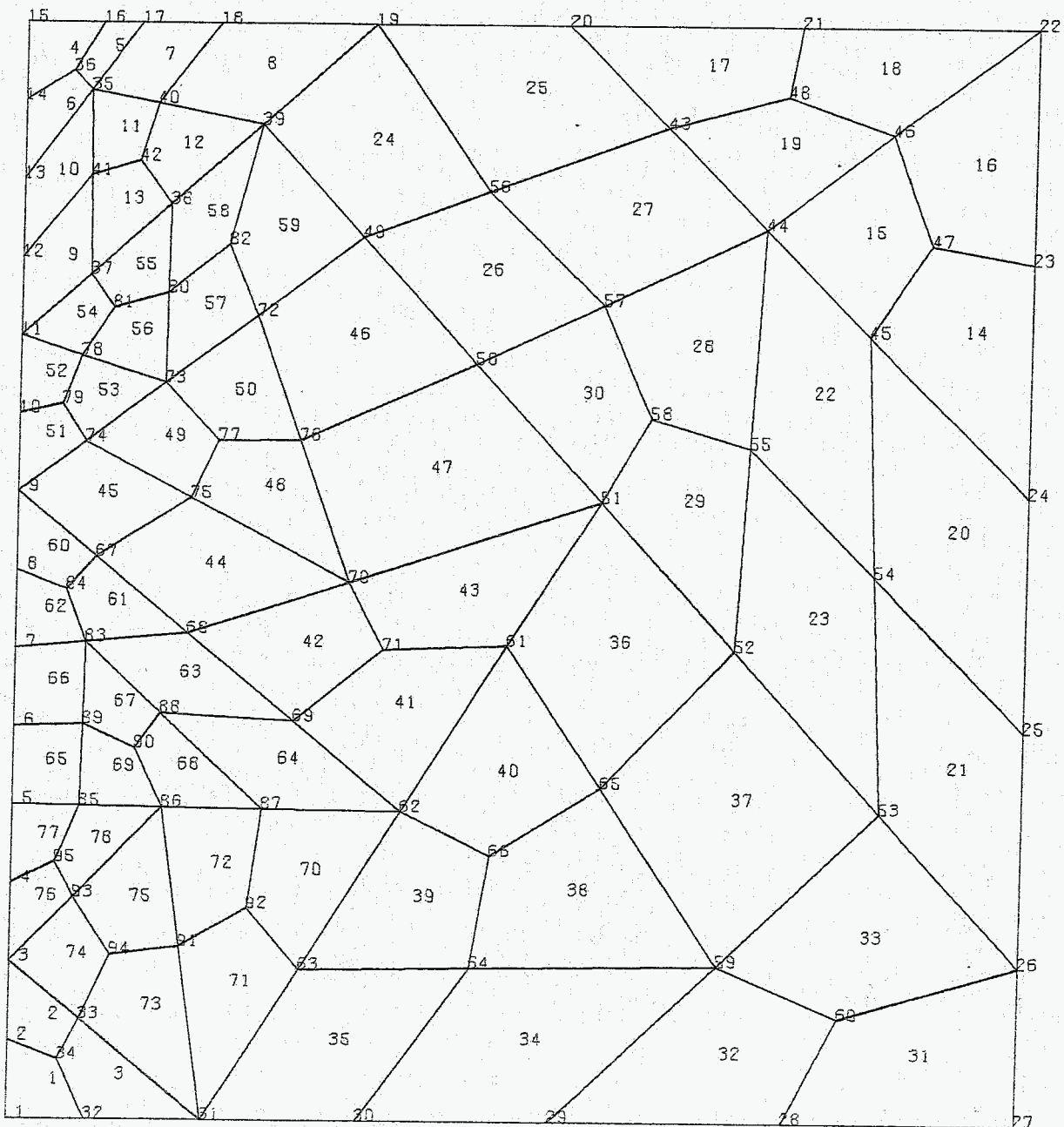


fig 1

aantal knooppunten op de omtrek: 32
 aantal gegenereerde knooppunten : 63
 aantal gegenereerde elementen : 156
 benodigde rekentijd : 33 sec.

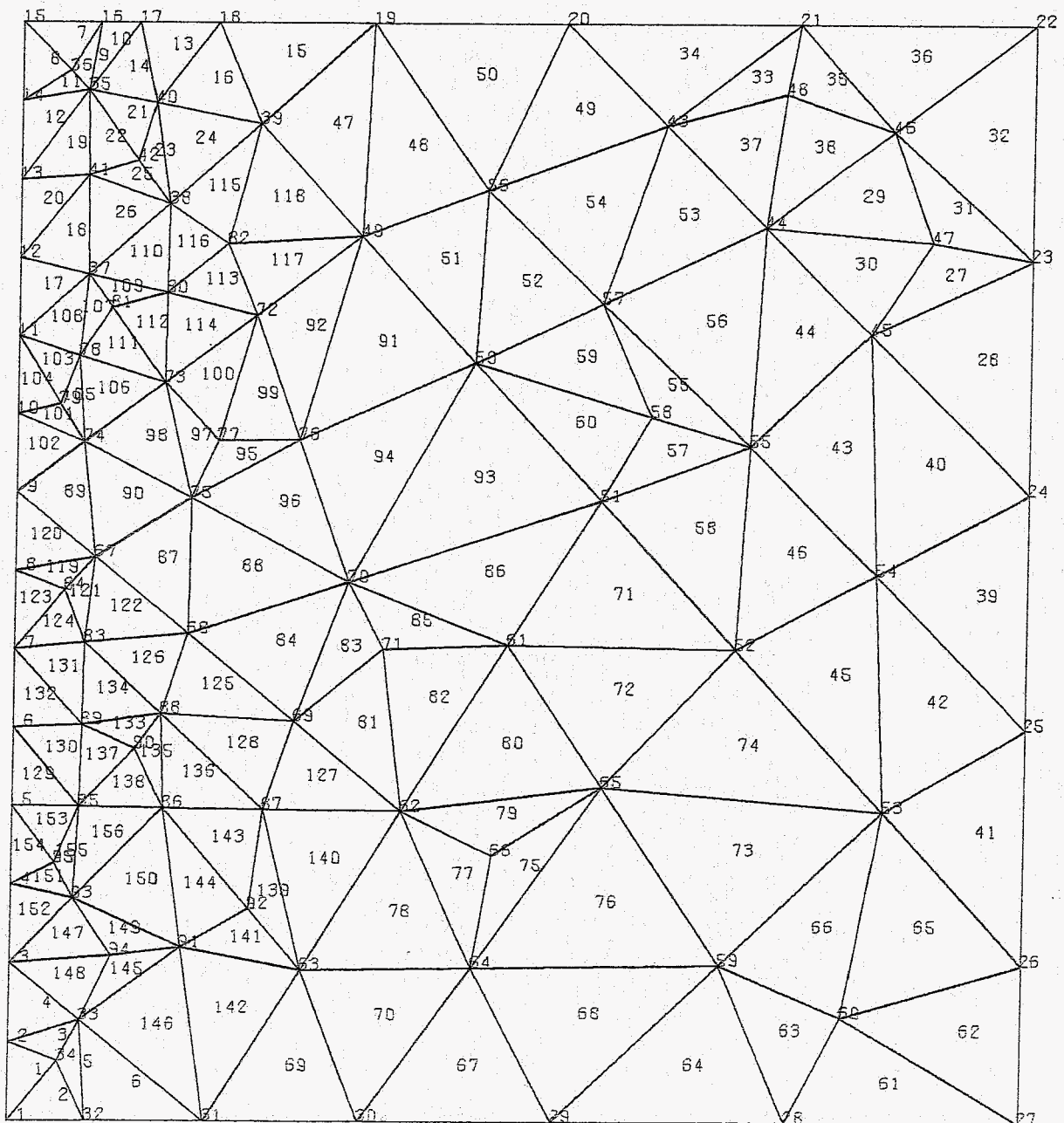
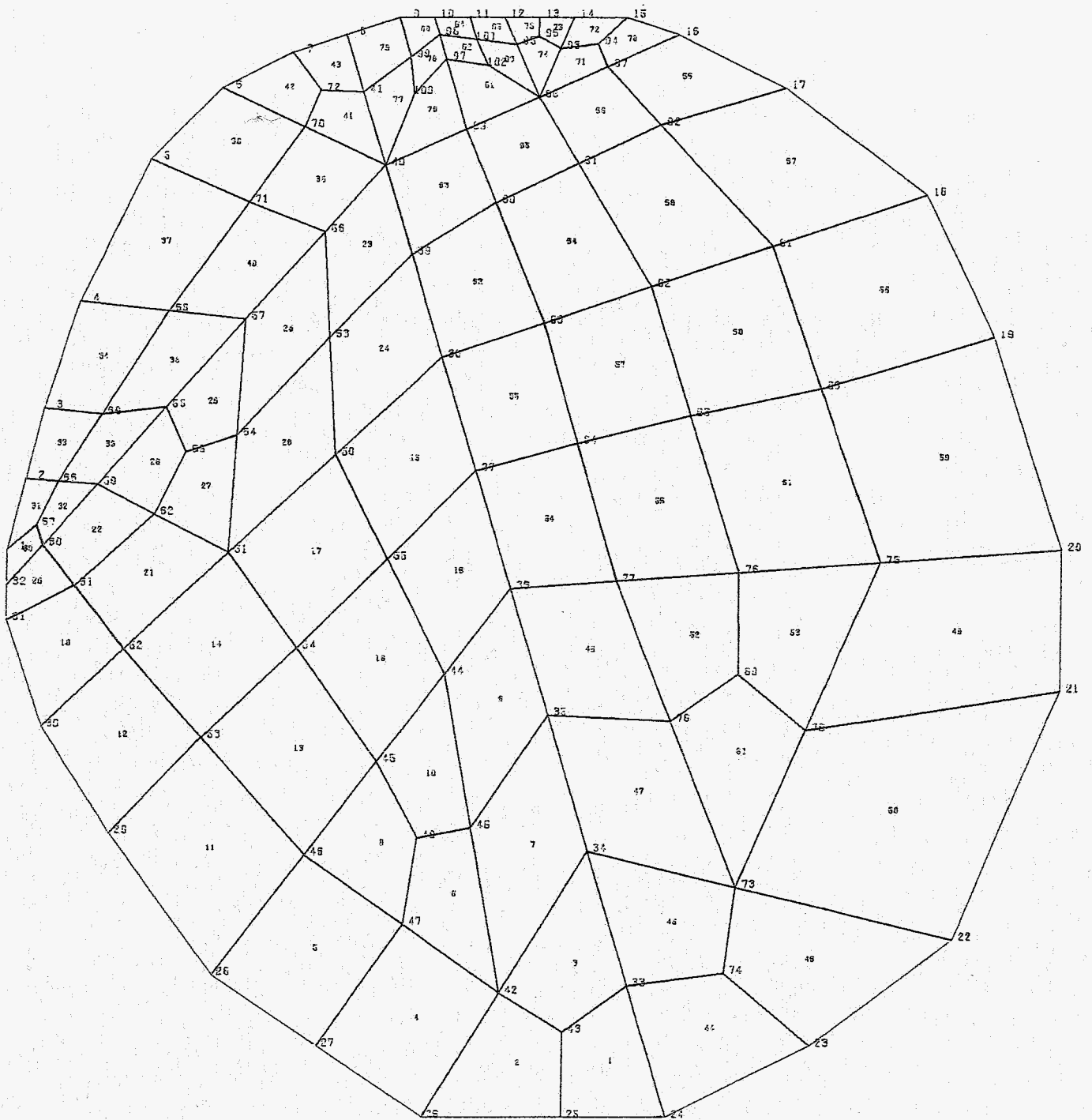
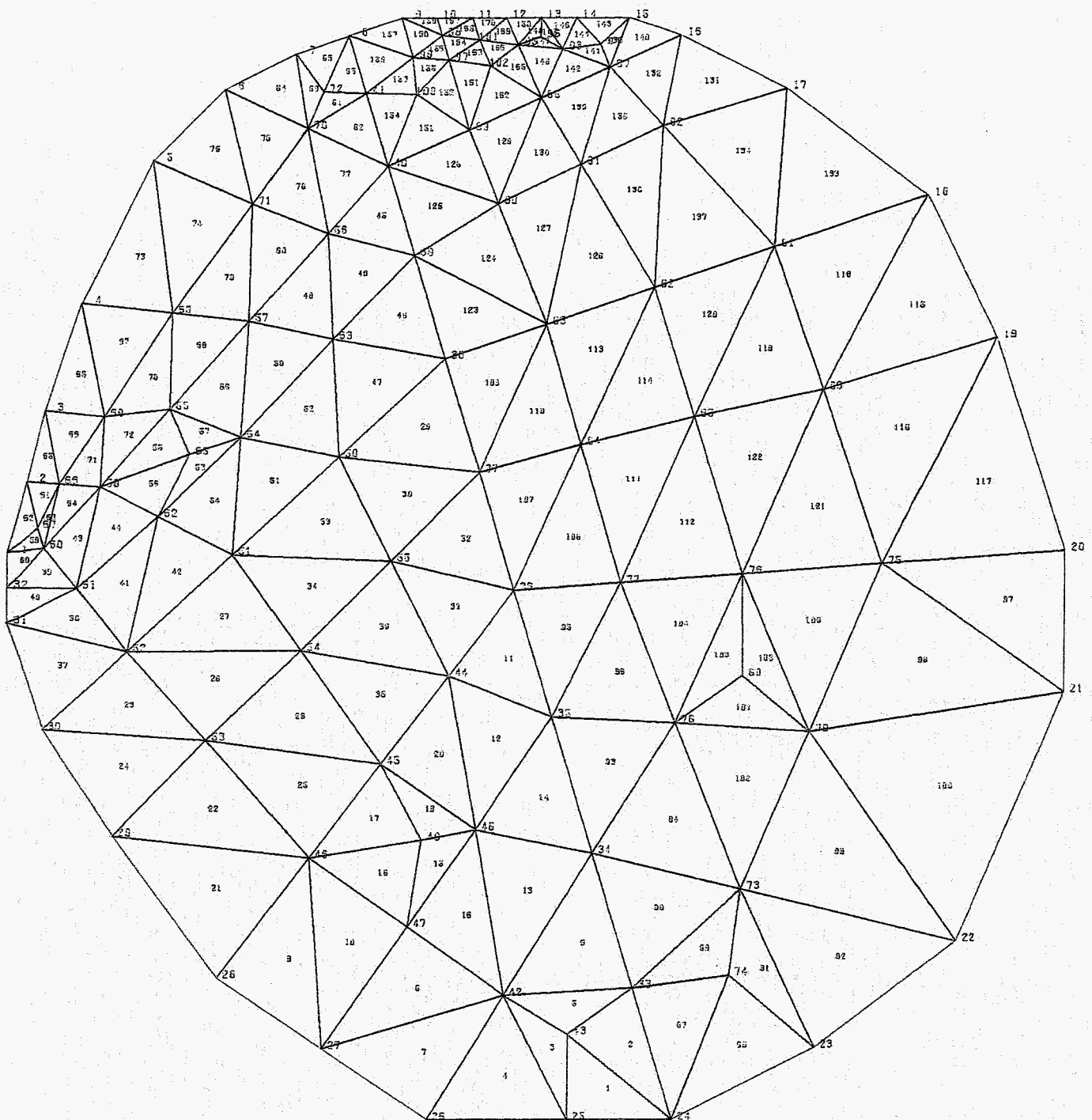


fig 2



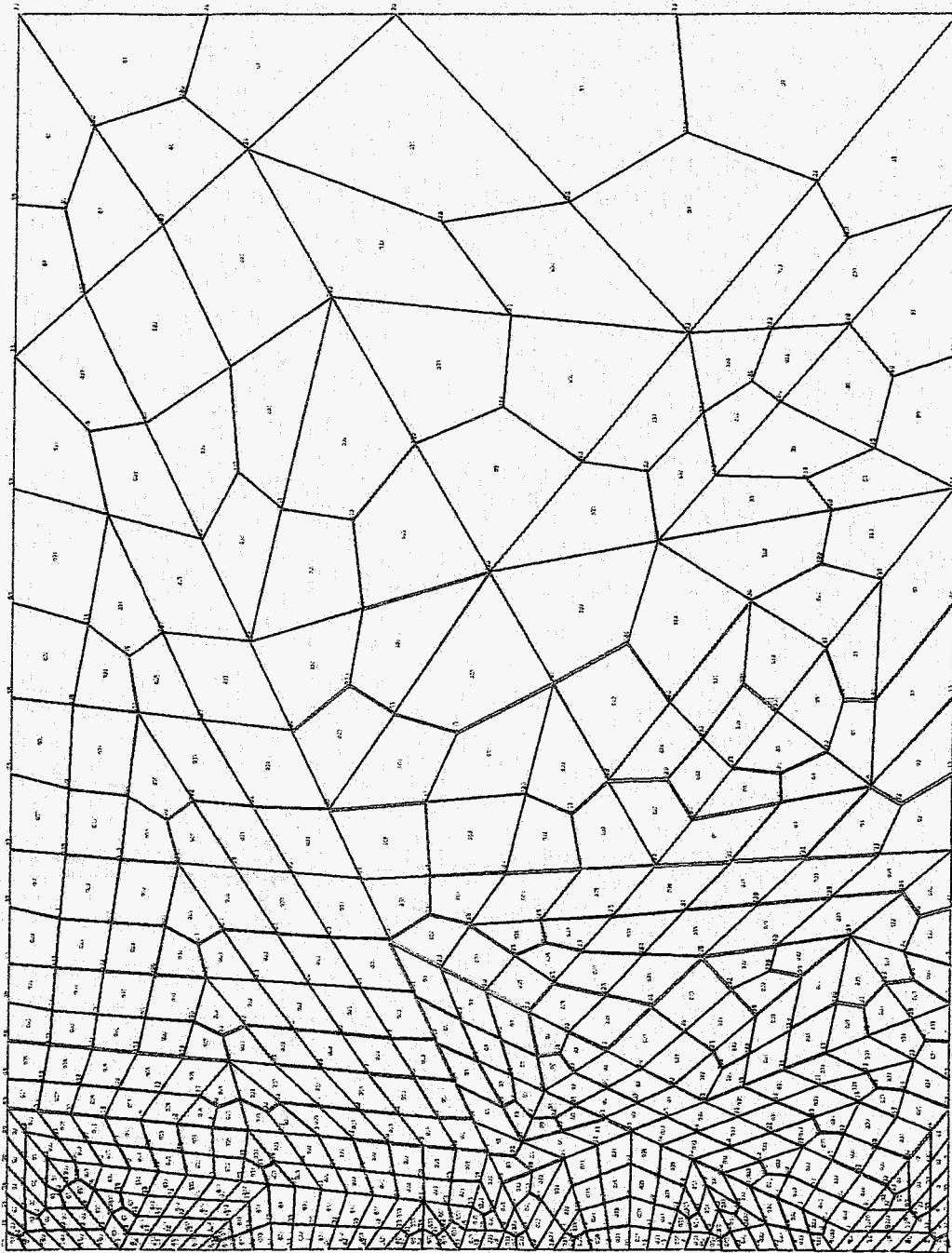
aantal knooppunten op de omtrek: 32
 aantal gegenereerde knooppunten : 70
 aantal gegenereerde elementen ; 85
 benodigde rekentijd : 28 sec.

fig 3



aantal knooppunten op de omtrek : 32
 aantal gegenereerde knooppunten : 70
 aantal gegenereerde elementen : 170
 benodigde rekentijd : 20 sec

fig 4



aantal knooppunten op de omtrek: 92
aantal gegenereerde knooppunten: 406
aantal gegenereerde elementen: 451
benodigde rekestijd: 200 sec

fig 5